

1-1、 设英文字母 E 出现的概率为 0.105 , x 出现的概率为 0.002。试求 E 和 x 的信息量。

解： $P(E) = 0.105$ $P(x) = 0.002$

$$I(E) = -\log_2 P(E) = -\log_2 0.105 = 3.25 \text{ bit}$$

$$I(x) = -\log_2 P(x) = -\log_2 0.002 = 8.97 \text{ bit}$$

1-2、 信息源的符号集由 A, B, C, D 和 E 组成, 设每一符号独立出现, 其出现的概率为 $1/4, 1/8, 1/8, 3/16$ 和 $5/16$ 。试求该信息源符号的平均信息量。

$$\begin{aligned} \text{解： } H &= -\sum P(x_i) \log_2 P(x_i) \\ &= -\frac{1}{4} \log_2 \frac{1}{4} - \frac{1}{8} \log_2 \frac{1}{8} - \frac{1}{8} \log_2 \frac{1}{8} - \frac{5}{16} \log_2 \frac{5}{16} = 2.23 \text{ bit/符号} \end{aligned}$$

1-3、 设有四个消息 A, B, C, D 分别以概率 $1/4, 1/8, 1/8, 1/2$ 传送, 每一消息的出现是相互独立的。试计算其平均信息量。

$$\begin{aligned} \text{解： } H &= -\sum P(x_i) \log_2 P(x_i) \\ &= -\frac{1}{4} \log_2 \frac{1}{4} - \frac{1}{8} \log_2 \frac{1}{8} - \frac{1}{8} \log_2 \frac{1}{8} - \frac{1}{2} \log_2 \frac{1}{2} = 1.75 \text{ bit/符号} \end{aligned}$$

1-4、 一个由字母 A, B, C, D 组成的字。对于传输的每一个字母用二进制脉冲编码, 00 代替 A , 01 代替 B , 10 代替 C , 11 代替 D 。每个脉冲宽度为 5 ms 。

(1) 不同的字母是等概率出现时, 试计算传输的平均信息速率。

(2) 若每个字母出现的概率为 $P_A = \frac{1}{5}, P_B = \frac{1}{4}, P_C = \frac{1}{4}, P_D = \frac{3}{10}$, 试计算传输的平均信息速率。

解：首先计算平均信息量。

$$(1) H = -\sum P(x_i) \log_2 P(x_i)$$

$$= 4 \times \left(-\frac{1}{4}\right) \times \log_2 \frac{1}{4} = 2 \text{ bit/字母}$$

$$\text{平均信息速率} = 2 \left(\frac{\text{bit}}{\text{字母}} \right) \div (2 \times 5 \text{ ms/字母}) = 200 \text{ bit/s}$$

$$(2) H = -\sum P(x_i) \log_2 P(x_i)$$

$$= -\frac{1}{5} \log_2 \frac{1}{5} - \frac{1}{4} \log_2 \frac{1}{4} - \frac{1}{4} \log_2 \frac{1}{4} - \frac{3}{10} \log_2 \frac{3}{10} = 1.985 \text{ bit/字母}$$

$$\text{平均信息速率} = 1.985 \left(\frac{\text{bit}}{\text{字母}} \right) \div (2 \times 5 \text{ ms/字母}) = 198.5$$

bit/s

1-5、国际莫尔斯电码用点和划的序列发送英文字母，划用持续 3 单位的电流脉冲表示，点用持续 1 单位的电流脉冲表示，且划出现的概率是点出现的概率的 1/3：

(1) 计算点和划的信息量；

(2) 计算点和划的平均信息量。

解：令点出现的概率为 $P(A)$ ，划出现的概率为 $P(B)$

$$P(A) + P(B) = 1, \frac{1}{3} P(A) = P(B) \Rightarrow P(A) = 3/4 \quad P(B) = 1/4$$

$$(1) I(A) = -\log_2 P(A) = 0.415 \text{ bit}$$

$$I(B) = -\log_2 P(B) = 2 \text{ bit}$$

$$(2) H = -\sum P(x_i) \log_2 P(x_i)$$

$$= -\frac{3}{4} \log_2 \frac{3}{4} - \frac{1}{4} \log_2 \frac{1}{4} = 0.811 \text{ bit}$$

- 1-6、 设一信息源的输出由 128 个不同符号组成。其中 16 个出现的概率为 $1/32$, 其余 112 个出现的概率为 $1/224$ 。信息源每秒发出 1000 个符号, 且每个符号彼此独立。试计算该信息源的平均信息速率。

解: $H = -\sum P(x_i) \log_2 P(x_i)$

$$= 16 \times \left(-\frac{1}{32}\right) \log_2 \frac{1}{32} + 112 \times \left(-\frac{1}{224}\right) \log_2 \left(\frac{1}{224}\right) = 6.4 \text{ bit/符号}$$

平均信息速率为 $6.4 \times 1000 = 6400 \text{ bit/s}$ 。

- 1-7、 对于二电平数字信号, 每秒钟传输 300 个码元, 问此传码率 R_B 等于多少? 若数字信号 0 和 1 出现是独立等概的, 那么传信率 R_b 等于多少?

解: $R_B = 300B$ $R_b = 300 \text{ bit/s}$

- 1-8、 若题 1-2 中信息源以 1000B 速率传送信息, 则传送 1 小时的信息量为多少? 传送 1 小时可能达到的最大信息量为多少?

解: 传送 1 小时的信息量 $2.23 \times 1000 \times 3600 = 8.028 \text{ Mbit}$

传送 1 小时可能达到的最大信息量

先求出最大的熵: $H_{\max} = -\log_2 \frac{1}{5} = 2.32 \text{ bit/符号}$

则传送 1 小时可能达到的最大信息量

$$2.32 \times 1000 \times 3600 = 8.352 \text{ Mbit}$$

- 1-9、 如果二进独立等概信号, 码元宽度为 0.5 ms , 求 R_B 和 R_b ; 有四进信号, 码元宽度为 0.5 ms , 求传码率 R_B 和独立等概时的传信率 R_b 。

解：二进独立等概信号： $R_B = \frac{1}{0.5 \times 10^{-3}} = 2000B$ ， $R_b = 2000 \text{ bit/s}$

四进独立等概信号： $R_B = \frac{1}{0.5 \times 10^{-3}} = 2000B$ ，

$$R_b = 2 \times 2000 = 4000 \text{ bit/s}。$$

小结：

记住各个量的单位：

信息量： bit $I = -\log_2 P(x)$

信源符号的平均信息量（熵）： bit/符号

$$H = -\sum P(x_i) \log_2 P(x_i)$$

平均信息速率： $\text{bit/s} = (\text{bit/符号}) / (\text{s/符号})$

传码率： R_B (B)

传信率： R_b bit/s

2-1、设随机过程 $\xi(t)$ 可表示成 $\xi(t) = 2\cos(2\pi t + \theta)$ ，式中 θ 是一个离散随变量，且

$P(\theta = 0) = 1/2$ 、 $P(\theta = \pi/2) = 1/2$ ，试求 $E[\xi(1)]$ 及 $R_\xi(0,1)$ 。

$$\text{解： } E[\xi(1)] = \frac{1}{2} \times 2\cos(2\pi + 0) + \frac{1}{2} \times 2\cos(2\pi + \pi/2) = 1；$$

$$R_\xi(0,1) = E[\xi(0)\xi(1)] = \frac{1}{2} \times 2\cos(0)2\cos(2\pi + 0) + \frac{1}{2} \times \cos(\pi/2)2\cos(2\pi + \pi/2) = 2。$$

2-2、设 $Z(t) = X_1 \cos w_0 t - X_2 \sin w_0 t$ 是一随机过程，若 X_1 和 X_2 是彼此独立且具有均值

为 0、方差为 σ^2 的正态随机变量，试求：

(1) $E[Z(t)]$ 、 $E[Z^2(t)]$ ；

(2) $Z(t)$ 的一维分布密度函数 $f(z)$ ；

(3) $B(t_1, t_2)$ 和 $R(t_1, t_2)$ 。

$$\text{解：(1) } E[Z(t)] = E[X_1 \cos w_0 t - X_2 \sin w_0 t] = \cos w_0 t E[X_1] - \sin w_0 t E[X_2] = 0$$

因为 X_1 和 X_2 是彼此独立的正态随机变量， X_1 和 X_2 是彼此互不相关，所以

$$E[X_1 X_2] = 0$$

$$E[Z^2(t)] = E[X_1^2 \cos^2 w_0 t + X_2^2 \sin^2 w_0 t] = \cos^2 w_0 t E[X_1^2] + \sin^2 w_0 t E[X_2^2]$$

$$\text{又 } E[X_1] = 0；D[X_1] = E[X_1^2] - E^2[X_1] = \sigma^2 \Rightarrow E[X_1^2] = \sigma^2$$

$$\text{同理 } E[X_2^2] = \sigma^2$$

$$\text{代入可得 } E[Z^2(t)] = \sigma^2$$

(2) 由 $E[Z(t)] = 0$ ； $E[Z^2(t)] = \sigma^2$ 又因为 $Z(t)$ 是高斯分布

$$\text{可得 } D[Z(t)] = \sigma^2$$

$$f[z(t)] = \frac{1}{\sqrt{2\pi}\sigma} \exp\left(-\frac{z^2}{2\sigma^2}\right)$$

$$(3) B(t_1, t_2) = R(t_1, t_2) - E[Z(t_1)]E[Z(t_2)] = R(t_1, t_2)$$

$$= E[(X_1 \cos w_0 t_1 - X_2 \sin w_0 t_1)(X_1 \cos w_0 t_2 - X_2 \sin w_0 t_2)]$$

$$\begin{aligned}
 &= E[X_1^2 \cos(w_0 t_1) \cos(w_0 t_2) + X_2^2 \sin(w_0 t_1) \sin(w_0 t_2)] \\
 &= \sigma^2 \cos w_0(t_1 - t_2) = \sigma^2 \cos w_0 \tau \quad \text{令 } t_1 = t_2 + \tau
 \end{aligned}$$

2-3、求乘积 $Z(t) = X(t)Y(t)$ 的自相关函数。已知 $X(t)$ 与 $Y(t)$ 是统计独立的平稳随机过程，且它们的自相关函数分别为 $R_x(\tau)$ 、 $R_y(\tau)$ 。

解：因 $X(t)$ 与 $Y(t)$ 是统计独立，故 $E[XY] = E[X]E[Y]$

$$\begin{aligned}
 R_z(\tau) &= E[Z(t)Z(t+\tau)] = E[X(t)Y(t)X(t+\tau)Y(t+\tau)] \\
 &= E[X(t)X(t+\tau)]E[Y(t)Y(t+\tau)] = R_x(\tau)R_y(\tau)
 \end{aligned}$$

2-4、若随机过程 $Z(t) = m(t)\cos(w_0 t + \theta)$ ，其中 $m(t)$ 是宽平稳随机过程，且自相关函数 $R_m(\tau)$ 为

$$R_m(\tau) = \begin{cases} 1 + \tau, & -1 < \tau < 0 \\ 1 - \tau, & 0 \leq \tau < 1 \\ 0, & \text{其它} \end{cases}$$

θ 是服从均匀分布的随机变量，它与 $m(t)$ 彼此统计独立。

- (1) 证明 $Z(t)$ 是宽平稳的；
- (2) 绘出自相关函数 $R_z(\tau)$ 的波形；
- (3) 求功率谱密度 $P_z(w)$ 及功率 S 。

解：(1) $Z(t)$ 是宽平稳的 $\Leftrightarrow E[Z(t)]$ 为常数； $R_z(t_1, t_2) = R_z(t_1 - t_2)$

$$E[Z(t)] = E[m(t)\cos(w_0 t + \theta)] = E[m(t)]E[\cos(w_0 t + \theta)]$$

$$= \left[\frac{1}{2\pi} \int_0^{2\pi} \cos(w_0 t + \theta) d\theta \right] E[Z(t)] = 0$$

$$R_z(t_1, t_2) = E[Z(t_1)Z(t_2)] = E[m(t_1)\cos(w_0 t_1 + \theta)m(t_2)\cos(w_0 t_2 + \theta)]$$

$$= E[m(t_1)m(t_2)]E[\cos(w_0 t_1 + \theta)\cos(w_0 t_2 + \theta)]$$

$$E[m(t_1)m(t_2)] = R_m(t_2 - t_1) \text{ 只与 } t_2 - t_1 = \tau \text{ 有关；}$$

$$\text{令 } t_2 = t_1 + \tau$$

$$\begin{aligned} & E\{\cos(w_0 t_1 + \theta) \cos[w_0(t_1 + \tau) + \theta]\} \\ &= E\{\cos(w_0 t_1 + \theta) [\cos(w_0 t_1 + \theta) \cos w_0 \tau - \sin(w_0 t_1 + \theta) \sin w_0 \tau]\} \\ &= \cos w_0 \tau \cdot E[\cos^2(w_0 t_1 + \theta)] - \sin w_0 \tau \cdot E[\cos(w_0 t_1 + \theta) \sin(w_0 t_1 + \theta)] \\ &= \cos(w_0 \tau) \cdot E\left\{\frac{1}{2}[1 + \cos 2(w_0 t_1 + \theta)]\right\} - 0 \\ &= \frac{1}{2} \cos(w_0 \tau) \end{aligned}$$

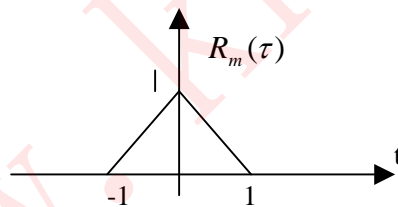
所以 $R_Z(t_1, t_2) = \frac{1}{2} \cos(w_0 \tau) \cdot R_m(\tau)$ 只与 τ 有关，证毕。

(2) 波形略；

$$(3) R_Z(\tau) = \frac{1}{2} \cos(w_0 \tau) \cdot R_m(\tau) = \begin{cases} \frac{1}{2} (1 + \tau) \cos(w_0 \tau), & -1 < \tau < 0 \\ \frac{1}{2} (1 - \tau) \cos(w_0 \tau), & 0 \leq \tau < 1 \\ 0, & \text{其它} \end{cases}$$

$$P_Z(w) \Leftrightarrow R_Z(\tau)$$

而 $R_Z(\tau)$ 的波形为



可以对 $R_m(\tau)$ 求两次导数，再利用付氏变换的性质求出 $R_m(\tau)$ 的付氏变换。

$$R_m''(\tau) = \delta(\tau + 1) - 2\delta(\tau) + \delta(\tau - 1) \Rightarrow P_m(w) = \frac{\sin(w/2)}{w/2} = Sa^2\left(\frac{w}{2}\right)$$

$$\Rightarrow P_Z(w) = \frac{1}{4} [Sa^2\left(\frac{w + w_0}{2}\right) + Sa^2\left(\frac{w - w_0}{2}\right)]$$

$$\text{功率 } S : S = R_Z(0) = 1/2$$

2-5、已知噪声 $n(t)$ 的自相关函数 $R_n(\tau) = \frac{a}{2} \exp(-a|\tau|)$, a 为常数 :

(1) 求 $P_n(\omega)$ 和 S ;

(2) 绘出 $R_n(\tau)$ 与 $P_n(\omega)$ 的波形。

解 : (1) 因为 $\exp(-a|\tau|) \Leftrightarrow \frac{2a}{\omega^2 + a^2}$

$$\text{所以 } R_n(\tau) = \frac{a}{2} \exp(-a|\tau|) \Leftrightarrow P_n(\omega) = \frac{a^2}{\omega^2 + a^2}$$

$$S = R(0) = \frac{a}{2}$$

(3) 略

2-6、 $\xi(t)$ 是一个平稳随机过程 , 它的自相关函数是周期为 $2S$ 的周期函数。在区间

$(-1, 1)$ 上 , 该自相关函数 $R(\tau) = 1 - |\tau|$ 。试求 $\xi(t)$ 的功率谱密度 $P_\xi(\omega)$ 。

解 : 见第 4 题 $R(\tau) = 1 - |\tau| \Leftrightarrow Sa^2(\frac{\omega}{2})$

因为 $\delta_T(t) = \sum_{n=-\infty}^{\infty} \delta(t - 2n)$ 所以 $\xi(t) = R(\tau) * \delta_T(t)$

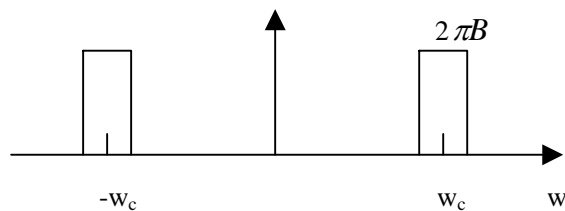
据付氏变换的性质可得 $P_\xi(\omega) = P_R(\omega)F_\delta(\omega)$

$$\text{而 } \delta_T(t) = \sum_{n=-\infty}^{\infty} \delta(t - 2n) \Leftrightarrow \pi \sum_{n=-\infty}^{\infty} \delta(\omega - n\pi)$$

故

$$P_\xi(\omega) = P_R(\omega)F_\delta(\omega) = Sa^2(\frac{\omega}{2}) \cdot \pi \sum_{n=-\infty}^{\infty} \delta(\omega - n\pi) = \pi \sum_{n=-\infty}^{\infty} \delta(\omega - n\pi) Sa^2(\frac{\omega - n\pi}{2})$$

2-7、将一个均值为 0 , 功率谱密度为 $n_0/2$ 的高斯白噪声加到一个中心角频率为 ω_c 、带宽为 B 的理想带通滤波器上 , 如图



(1) 求滤波器输出噪声的自相关函数 ;

(2) 写出输出噪声的一维概率密度函数。

解：(1) $P_o(w) = |H(w)|^2 P_i(w) = \frac{n_0}{2} H(w)$

因为 $\frac{\pi}{w_0} G_{2w_0}(w) \Leftrightarrow Sa(w_0\tau)$ ，故 $G_{2B\pi}(w) \Leftrightarrow BSa(B\pi\tau)$

又 $H(w) = G_{2B\pi}(w) * [\delta(w + w_c) + \delta(w - w_c)]$

$\delta(w + w_c) + \delta(w - w_c) \Leftrightarrow \frac{1}{\pi} \cos(w_c\tau)$

由 付氏变换的性质 $f_1(t) \cdot f_2(t) \Leftrightarrow \frac{1}{2\pi} F_1(w) * F_2(w)$

可得 $P_o(w) = \frac{n_0}{2} H(w) = \frac{n_0}{2} G_{2B\pi}(w) * [\delta(w + w_c) + \delta(w - w_c)]$

$\Leftrightarrow R(\tau) = n_0 BSa(B\pi\tau) \cos(w_c\tau)$

(2) $E[\xi_o(t)] = 0$; $R(0) = E[\xi_o^2(t)] = Bn_0$; $R(\infty) = E^2[\xi_o(t)] = 0$

所以 $\sigma^2 = R(0) - R(\infty) = Bn_0$

又因为输出噪声分布为高斯分布

可得输出噪声分布函数为 $f[\xi_o(t)] = \frac{1}{\sqrt{2\pi Bn_0}} \exp(-\frac{t^2}{2Bn_0})$ 。

2-8、设 RC 低通滤波器如图所示，求当输入均值为 0，功率谱密度为 $n_0/2$ 的白噪声时，输出过程的功率谱密度和自相关函数。

解： $H(w) = \frac{1/jwC}{R + 1/jwC} = \frac{1}{jwRC + 1}$

(1) $P_o(w) = P_i(w) |H(w)|^2 = \frac{n_0}{2} \cdot \frac{1}{1 + (wRC)^2}$

(2) 因为 $\exp(-a|\tau|) \Leftrightarrow \frac{2a}{w^2 + a^2}$

所以 $P_o(w) = \frac{n_0}{2} \cdot \frac{1}{1 + (wRC)^2} \Leftrightarrow R_o(\tau) = \frac{n_0}{4RC} \exp(-\frac{|\tau|}{RC})$

2-9、将均值为 0，功率谱密度为 $n_0/2$ 的高斯白噪声加到低通滤波器的输入端，

(1) 求输出噪声的自相关函数；

(2) 求输出噪声的方差。

解： $H(w) = \frac{R}{R + jwL}$

$$(1) P_o(w) = P_i(w) |H(w)|^2 = \frac{n_0}{2} \cdot \frac{R^2}{R^2 + (wL)^2} \Leftrightarrow R_o(\tau) = \frac{n_0 R}{4L} \exp(-\frac{R}{L}|\tau|)$$

$$(2) E[n_o(t)] = 0 ;$$

$$\sigma^2 = R(0) - R(\infty) = R(0) = \frac{n_0 R}{4L}$$

2-10、设有一个随机二进制矩形脉冲波形，它的每个脉冲的持续时为 T_b ，脉冲幅度取 ± 1 的

概率相等。现假设任一间隔 T_b 内波形取值与任何别的间隔内取值统计无关，且过程具有宽平稳性，试证：

$$(1) \text{ 自相关函数 } R_\xi(\tau) = \begin{cases} 0, & |\tau| > T_b \\ 1 - |\tau|/T_b, & |\tau| \leq T_b \end{cases}$$

$$(2) \text{ 功率谱密度 } P_\xi(w) = T_b [Sa(\pi f T_b)]^2。$$

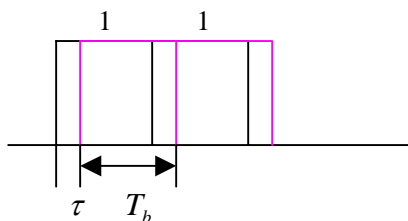
解： (1) $R_\xi(\tau) = E[\xi(t)\xi(t+\tau)]$

当 $|\tau| > T_b$ 时， $\xi(t)$ 与 $\xi(t+\tau)$ 无关，故 $R_\xi(\tau) = 0$

当 $|\tau| \leq T_b$ 时，因脉冲幅度取 ± 1 的概率相等，所以在 $2T_b$ 内，该波形取

-1 -1、1 1、-1 1、1 -1 的概率均为 1/4。

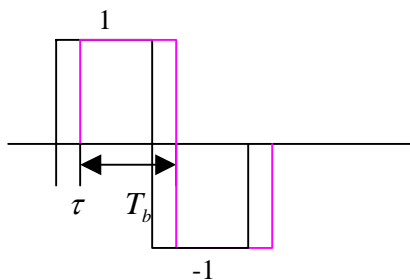
(A) 波形取 -1 -1、1 1 时，



在图示的一个间隔 T_b 内， $R_\xi(\tau) = E[\xi(t)\xi(t+\tau)]$

$$= \frac{1}{4} \times 1 = 1/4$$

(B) 波形取-1 1、1 -1 时，



在图示的一个间隔 T_b 内， $R_\xi(\tau) = E[\xi(t)\xi(t+\tau)]$

$$= \frac{1}{4} \times \left(\frac{T_b - |\tau|}{T_b} - \frac{|\tau|}{T_b} \right)$$

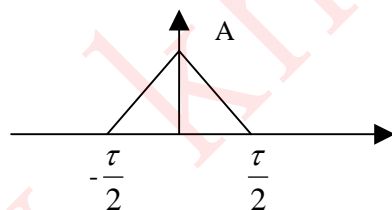
当 $|\tau| \leq T_b$ 时， $R_\xi(\tau) = E[\xi(t)\xi(t+\tau)]$

$$= 2 \times \frac{1}{4} + 2 \times \frac{1}{4} \times \left(\frac{T_b - |\tau|}{T_b} - \frac{|\tau|}{T_b} \right)$$

$$= 1 - \frac{|\tau|}{T_b}$$

故 $R_\xi(\tau) = \begin{cases} 0, & |\tau| > T_b \\ 1 - |\tau|/T_b, & |\tau| \leq T_b \end{cases}$

(2)



$$\Leftrightarrow \frac{A\tau}{2} Sa^2\left(\frac{w\tau}{4}\right)$$

其中 $\frac{A\tau}{2}$ 为时域波形的面积。

$$\text{所以 } R_\xi(\tau) \Leftrightarrow P_\xi(w) = T_b Sa^2\left(\frac{wT_b}{2}\right)。$$

2-11、图示为单个输入、两个输出的线形过滤器，若输入过程 $\eta(t)$ 是平稳的，求 $\xi_1(t)$ 与 $\xi_2(t)$ 的互功率谱密度的表示式。（提示：互功率谱密度与互相关函数为付利叶变换对）

$$\text{解： } \xi_1(t) = \int_0^\infty \eta(t-\alpha)h_1(\alpha)d\alpha \quad \xi_2(t) = \int_0^\infty \eta(t-\beta)h_2(\beta)d\beta$$

$$R_{12}(t_1, t_1 + \tau) = E[\xi_1(t_1)\xi_2(t_1 + \tau)]$$

$$= E \left[\int_0^{\infty} \eta(t_1 - \alpha) h_1(\alpha) d\alpha \int_0^{\infty} \eta(t_1 + \tau - \beta) h_2(\beta) d\beta \right]$$

$$= \int_0^{\infty} \int_0^{\infty} h_1(\alpha) h_2(\beta) R_{\eta}(\tau + \alpha - \beta) d\alpha d\beta$$

$$\text{所以 } P_{12}(w) = \int_{-\infty}^{\infty} R_{12}(\tau) e^{-jw\tau} d\tau = \int_{-\infty}^{\infty} d\tau \int_0^{\infty} d\alpha \int_0^{\infty} [h_1(\alpha) h_2(\beta) R_{\eta}(\tau + \alpha - \beta) e^{-jw\tau} d\beta]$$

$$\text{令 } \tau' = \tau + \alpha - \beta$$

$$P_{12}(w) = \int_0^{\infty} h(\alpha) e^{jw\alpha} d\alpha \int_0^{\infty} h(\beta) e^{-jw\beta} d\beta \int_{-\infty}^{\infty} [R_{\eta}(\tau') e^{-jw\tau'} d\tau'] = H_1^*(w) H_2(w) P_{\eta}(w)$$

2-12、若 $\xi(t)$ 是平稳随机过程，自相关函数为 $R_{\xi}(\tau)$ ，试求它通过图示系统后的自相关函数及功率谱密度。



$$\text{解： } h(t) = \delta(t) + \delta(t-T) \Leftrightarrow H(w) = 1 + e^{-jwT} \quad |H(w)| = (2 + 2\cos wT)^{1/2}$$

$$P_o(w) = |H(w)|^2 P_{\xi}(w) = 2(1 + \cos wT) P_{\xi}(w)$$

$$P_o(w) = 2P_{\xi}(w) + 2\cos wT \cdot P_{\xi}(w) = 2P_{\xi}(w) + (e^{-jwT} + e^{jwT}) P_{\xi}(w)$$

$$\Leftrightarrow 2R_{\xi}(\tau) + R_{\xi}(\tau-T) + R_{\xi}(\tau+T)$$

2-13、若通过题 2-8 的低通滤波器的随机过程是均值为 0，功率谱密度为 $n_0/2$ 的高斯白噪声，试求输出过程的一维概率密度函数。

$$\text{解： } E[n_o(t)] = 0 ;$$

$$P_o(w) = \frac{n_0}{2} \cdot \frac{1}{1 + (wRC)^2} \Leftrightarrow R_o(\tau) = \frac{n_0}{4RC} \exp\left(-\frac{|\tau|}{RC}\right)$$

$$\Rightarrow \sigma^2 = \frac{n_0}{4RC}$$

又因为输出过程为高斯过程，所以其一维概率密度函数为

$$f(x) = \frac{1}{\sqrt{2\pi}\sigma} \exp\left(-\frac{x^2}{2\sigma^2}\right)$$

2-14、一噪声的功率密度函数如图，试求其自相关函数为 $KSa(\Omega\tau/2)\cos(w_0\tau)$ 。

解：见题 2-7 的解法；

$$P_n(w) = \frac{\pi K}{\Omega} G_{\Omega}(w) * [\delta(w + w_0) + \delta(w - w_0)]$$

$$\delta(w + w_0) + \delta(w - w_0) \Leftrightarrow \frac{1}{\pi} \cos(w_0\tau)$$

$$\text{由 付氏变换的性质 } f_1(t) \cdot f_2(t) \Leftrightarrow \frac{1}{2\pi} F_1(w) * F_2(w)$$

$$\text{可得 } P_n(w) = \frac{\pi K}{\Omega} G_{\Omega}(w) * [\delta(w + w_0) + \delta(w - w_0)]$$

$$\Leftrightarrow R(\tau) = KSa(\Omega\tau/2)\cos(w_0\tau)$$

2-15、略

3-1、设一恒参信道的幅频特性和相频特性分别为 $|H(w)| = K_0$, $\varphi(w) = -wt_d$, 其中 , K_0, t_d 都是常数。试确定信号 $s(t)$ 通过该信道后输出信号的时域表示式 , 并讨论之。

解： $H(w) = K_0 e^{-jw t_d}$

$$S_o(w) = H(w)S(w) = K_0 e^{-jw t_d} S(w) \Leftrightarrow s_o(t) = K_0 s(t - t_d)$$

确定信号 $s(t)$ 通过该信道后 , 没有失真 , 只是信号发生了延时。

3-2、设某恒参信道的幅频特性为 $H(w) = [1 + \cos T_0] e^{-jw t_d}$, 其中 , t_d 都是常数。试确定信号 $s(t)$ 通过该信道后输出信号的时域表示式 , 并讨论之。

解： $H(w) = [1 + \cos T] e^{-jw t_d}$

$$\begin{aligned} S_o(w) &= H(w)S(w) = [1 + \cos T_0] e^{-jw t_d} S(w) = [e^{-jw t_d} + \frac{1}{2} e^{-jw(T_0 + t_d)} + \frac{1}{2} e^{-jw(t_d - T_0)}] S(w) \\ &\Leftrightarrow s(t - t_d) + \frac{1}{2} s(t - t_d - T_0) + \frac{1}{2} s(t - t_d + T_0) \end{aligned}$$

信号经过三条延时不同的路径传播 , 同时会产生频率选择性衰落。见教材第 50 页。

3-3、设某恒参信道可用下图所示的线形二端对网络来等效。试求它的传递函数 , 并说明信号通过该信道时会产生哪些失真 ?

解： $H(w) = \frac{R}{R + \frac{1}{jwc}} = \frac{jwRc}{1 + jwRc}$

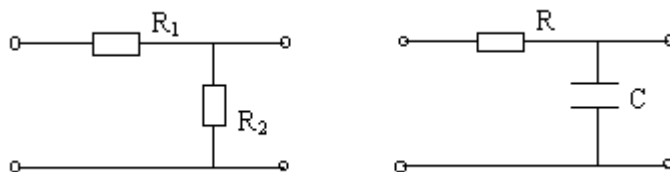
$$H(w) = \frac{jwRc}{1 + jwRc} = |H(w)| e^{j\varphi(w)}$$

其中 $|H(w)| = \frac{1}{\sqrt{\frac{1}{(wRc)^2} + 1}}$ $\varphi(w) = \frac{\pi}{2} - \arctg(wRc)$

$$\text{则群延迟 } \tau(w) = \frac{d\varphi(w)}{dw} = \frac{Rc}{1 + (wRc)^2}$$

可见 , 信号通过该信道时会频率失真和群延迟畸变。

3-4、今有两个恒参信道,其等效模型分别如图 P3-2(a)、(b)所示,试求这两个信道的群延迟特性,并画出它们的群延迟曲线,同时说明信号通过它们时有无群延迟失真?



解: 图 A

$$H(\omega) = \frac{R_2}{R_1 + R_2} = |H(\omega)|e^{-j\varphi(\omega)}$$

$$\text{其中 } |H(\omega)| = \frac{R_2}{R_1 + R_2}, \quad \varphi(\omega) = 0$$

$$\text{故 } \tau(\omega) = \frac{d\varphi(\omega)}{d\omega} = 0, \quad \text{没有群延迟;}$$

图 B

$$H(\omega) = \frac{1}{R + \frac{1}{j\omega C}} = |H(\omega)|e^{-j\varphi(\omega)}$$

$$\text{其中 } |H(\omega)| = \frac{1}{\sqrt{1 + (\omega R C)^2}}, \quad \varphi(\omega) = -\arctan(\omega R C)$$

$$\text{故 } \tau(\omega) = \frac{d\varphi(\omega)}{d\omega} = -\frac{R C}{1 + (\omega R C)^2}, \quad \text{有群延迟失真。}$$

3-5、一信号波形 $s(t) = A \cos \Omega t \cos \omega_0 t$, 通过衰减为固定常数值、存在相移的网络。试证

明: 若 $\omega_0 \gg \Omega$ 、且 $\omega_0 \pm \Omega$ 附近的相频特性可近似为线形, 则该网络对 $s(t)$ 的迟延等于它的包络的迟延。

证明: 令该网络的传递函数为 $H(\omega)$, 则 $H(\omega) = K e^{-j\varphi(\omega)}$ $\omega_0 \pm \Omega$ 附近, $\varphi(\omega) = \omega t_0$

$$\text{即 } H(\omega) = K e^{-j\omega t_0} \Leftrightarrow h(t) = K \delta(t - t_0)$$

$$\text{输出信号为 } y(t) = s(t) * h(t) = A K \cos \Omega(t - t_0) \cos \omega_0(t - t_0)$$

$$\text{对包络的迟延为 } A \cos \Omega t * K \delta(t - t_0) = A K \cos \Omega(t - t_0)$$

证毕。

3-6、瑞利衰落的包络值 V 为何值时， V 的一维概率密度函数有最大值？

解：瑞利衰落的包络值 V 的一维概率密度函数为

$$f(V) = \frac{V}{\sigma^2} \exp\left(-\frac{V^2}{2\sigma^2}\right)$$

$$\text{一维概率密度函数有最大值，则 } \frac{df(V)}{dV} = 0 \Leftrightarrow \frac{\exp\left(-\frac{V^2}{2\sigma^2}\right)}{\sigma^2} - \frac{V^2}{\sigma^4} \exp\left(-\frac{V^2}{2\sigma^2}\right) = 0$$

$$\text{可得 } V = \sigma$$

3-7、试根据瑞利衰落的包络值 V 的一维概率密度函数求包络 V 的数学期望和方差。

$$\text{解： } E(V) = \int_{-\infty}^{\infty} Vf(V)dV = 2 \int_0^{\infty} \frac{V^2}{\sigma^2} \exp\left(-\frac{V^2}{2\sigma^2}\right) dV = \sqrt{\frac{\pi}{2}} \sigma$$

$$D(V) = (2 - \frac{\pi}{2})\sigma^2 \quad \text{见概率论教材。}$$

3-8、假设某随参信道的两径时延差 τ 为 1ms ，试求该信道在哪些频率上传输衰耗最大？选用哪些频率传输信号最有利？

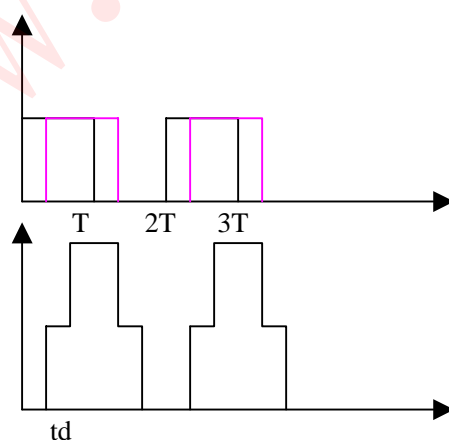
$$\text{解：见第 50 页，该网络的幅频特性为 } 2 \left| \cos \frac{w\tau}{2} \right| = 2 |\cos(\pi f)|$$

当 $f = n + \frac{1}{2}(\text{KHz})$ 时，出现传输零点，传输衰耗最大

当 $f = (n + \frac{1}{2})\text{KHz}$ 时，出现传输极点，传输信号最有利。

3-9、题图 3.3 所示的传号和空号相间的数字信号通过某随参信道。已知接收信号是通过该信道两条路径的信号之和。设两径的传输衰减相等（均为 d ），且时延差 $\tau = T/4$ 。试画出接收信号的波形示意图。

解：



接收信号的波形

3-10、设某随参信道的最大多径时延差等于 $3ms$ ，为了避免发生频率选择性衰落，试估算在该信道上传输的数字信号的占用频带范围。

$$\text{解：} \Delta f = \frac{1}{\tau_m} = \frac{1}{3 \times 10^{-3}} = 333Hz$$

$$\text{工程上的一般公式为 } \Delta f_s = (\frac{1}{3} \sim \frac{1}{5}) \Delta f = 66.7 \sim 111Hz$$

3-11、略

3-12、若两个电阻的阻值都为 1000Ω ，它们的温度分别为 $300K$ 和 $400K$ ，试求这两个电阻串联后两端的噪声功率谱密度。

$$\text{解：} S_1(w) = 2KTR = 2 \times 1.38 \times 10^{-23} \times 300 \times 1000 = 8.28 \times 10^{-18} V^2 / Hz$$

$$S_2(w) = 2 \times 1.38 \times 10^{-23} \times 400 \times 1000 = 11.04 \times 10^{-18} V^2 / Hz$$

$$S(w) = S_1(w) + S_2(w) = 19.32 \times 10^{-18} V^2 / Hz$$

3-13、具有 $6.5MHz$ 带宽的某高斯信道，若信道功率与噪声功率谱密度之比为 $45.5MHz$ ，试求其信道容量。

$$\text{解：} C = B \log_2(1 + \frac{S}{N}) = 6.5 \times \log_2(1 + \frac{45.5}{6.5}) = 19.5MHz$$

3-14、设高斯信道的带宽为 $4KHz$ ，信号与噪声功率之比为 63 ，试确定利用这种信道的理想通信系统的传信率与差错率。

$$\text{解：信道容量为 } C = B \log_2(1 + \frac{S}{N}) = 4 \times \log_2(64) = 24KHz$$

理想通信系统的传信率为 $24 Kbit/s$ ，差错率为 0 。

3-15、某一待传输的图片约含 2.25×10^6 个像元。为了很好地重现图片需要 12 个亮度电平。

假若所有这些亮度电平等概率出现，试计算用 $3min$ 传送一张图片时所需的信道带宽（设信道中信噪功率比为 $30dB$ ）。

$$\text{解：每像元信息量} = -\log_2(1/12) = 3.58 \text{ bit}$$

$$\text{图片包含信息量} = 3.58 \times 2.25 \times 10^6 = 8.06 \times 10^6 \text{ bit}$$

$$\text{要在 } 3min \text{ 内传送一张图片时，} C = 8.06 \times 10^6 / 180 = 4.48 \times 10^4 \text{ bit/s}$$

$$S/N = 30dB = 10^{30/10} = 1000$$

$$B = C / \log_2(1 + S/N) = 4.49 \times 10^3 \text{ Hz}$$

4.2 习题解答

4-1 已知线性调制信号表示式如下：

$$(1) \quad \cos t \cos w_c t$$

$$(2) \quad (1+0.5 \sin t) \cos w_c t$$

式中， $w_c=6$ 。试分别画出它们的波形图和频谱图。

解

(1) $\cos t \cos w_c t$ 的波形略。

设 $S_M(w)=F[\cos t \cos w_c t]$ ，根据 $w_c=6$ 可得

$$S_M(w) = \frac{1}{2} [(w+6) + (w-6) + (w+6) + (w-6)] = \frac{1}{2} [(w+6) + (w+6) + (w-6) + (w-6)]$$

该频谱图略。

(2) $(1+0.5 \sin t) \cos w_c t$ 的波形图略。

设 $S_M(w)=F[(1+0.5 \sin t) \cos w_c t]$ ，根据 $w_c=6$ 可得

$$S_M(w) = \frac{1}{2} [(w+6) + (w-6)] + 0.5 \times \frac{j}{4} [(w+6) + (w-6) - (w+6) - (w-6)]$$

$$= \frac{1}{2} [(w+6) + (w-6)] + j \frac{1}{4} [(w+6) - (w-6)]$$

该频谱图略。

4-2 根据图 4-14 所示的调制信号波形，试画出 DSB 及 AM 信号的波形图，并比较他们分别通过包络检波器后的波形差别。

解 设载波 $s(t)=\sin w_c t$

(1) DSB 信号 $s_{DSB}(t)=m(t) \sin w_c t$

该信号波形以及通过包络检波器的输出 $e(t)$ 波形略。

(2) AM 信号 $s_{AM}(t)=[m_0+m(t)] \sin w_c t$ ，且有 $m_0 \geq |m(t)|_{\max}$ 。

该信号波形以及通过包络检波器的输出 $e(t)$ 波形略。

4-3 已知调制信号 $m(t)=\cos(2000t)+\cos(4000t)$ ，载波为 $\cos 10^4 t$ ，进行单边带调制，是确定该单边带信号的表达式，并画出频谱图。

解 根据单边带信号的时域表达式，可确定上边带信号

$$s_{USB}(t) = \frac{1}{2} m(t) \cos w_c t - \frac{1}{2} \hat{m}(t) \sin w_c t$$

$$= \frac{1}{2} [\cos(2000t) + \cos(4000t)] \cos 10^4 t - \frac{1}{2} [\sin(2000t) + \sin(4000t)] \sin 10^4 t$$

$$= \frac{1}{4} [\cos 12000t + \cos 8000t + \cos 14000t + \cos 6000t] - \frac{1}{4} [\cos 8000t - \cos 12000t + \cos 6000t - \cos 14000t]$$

$$= \frac{1}{2} \cos 12000t + \frac{1}{2} \cos 14000t$$

$$s_{USB}(w) = \frac{1}{2} [(w+14000) + (w+12000) + (w-12000) + (w-14000)]$$

同理，下边带信号为

$$s_{LSB}(t) = \frac{1}{2} m(t) \cos w_c t + \frac{1}{2} \hat{m}(t) \sin w_c t$$

$$= \frac{1}{2} [\cos(2000t) + \cos(4000t)] \cos 10^4 t + \frac{1}{2} [\sin(2000t) + \sin(4000t)] \sin 10^4 t$$

$$= \frac{1}{2} \cos 8000t + \frac{1}{2} \cos 6000t$$

$$s_{LSB}(w) = \frac{1}{2} [(w+8000) + (w+6000) + (w-8000) + (w-6000)]$$

两种单边带信号的频谱图略。

4-4 将调幅波通过残留边带滤波器产生残留边带信号。若此滤波器的传输函数 $H(w)$ 如图 4-18 所示(斜线段为直线)。当调制信号为 $m(t)=A[\sin(100t)+\sin(6000t)]$ 时,试确定所得残留边带信号的表示式。

解 设调幅波 $s_{AM}(t)=[m_0+m(t)]C \cos w_c t$, 其中 $m_0 = |m(t)|_{\max}=A$, 同时根据残留边带滤波器在载波 f_c 处具有互补对称特性,可以得出载频 $f_c=10\text{KHz}$ 。因此

$$\begin{aligned} s_{AM}(t) &= [m_0 + A(\sin(100t) + \sin(6000t))] \cos 20000t \\ &= m_0 \cos 20000t + A/2 [\sin 20100t - \sin 19900t + \\ &\quad \sin 26000t + \sin 14000t] \end{aligned}$$

$$\begin{aligned} s_{AM}(w) &= m_0 [(w+20000) + (w-20000)] + j A/2 [(w+20000) - (w-20000) - \\ &\quad (w+19900) + (w-19900) + (w+26000) - (w-26000) - (w+14000) - \\ &\quad + (w-14000)] \end{aligned}$$

同时,根据图 4-18 可得

$$w = \pm 20000 \quad (f = \pm 10\text{kHz}) \text{ 时, } H(w) = 0.5$$

$$w = \pm 20100 \quad (f = \pm 10.05\text{kHz}) \text{ 时, } H(w) = 0.55$$

$$w = \pm 19900 \quad (f = \pm 9.95\text{kHz}) \text{ 时, } H(w) = 0.45$$

$$w = \pm 26000 \quad (f = \pm 13\text{kHz}) \text{ 时, } H(w) = 1$$

$$w = \pm 14000 \quad (f = \pm 7\text{kHz}) \text{ 时, } H(w) = 0$$

所以,残留边带信号频谱

$$\begin{aligned} s_{VSB}(w) &= s_{AM}(w) \cdot H(w) = m_0/2 [(w+20000) + (w-20000)] + j A/2 [0.55 (w+20100) - 0.55 (w-20100) - 0.45 (w+19900) + 0.45 (w-19900) + \\ &\quad (w+26000) - (w-26000)] \end{aligned}$$

$$s_{VSB}(t) = F^{-1}[s_{VSB}(w)] = m_0/2 \cos 20000t + A/2 (0.55 \sin 20100t - 0.45 \sin 19900t + \sin 26000t)$$

4-5 某调制方框图如图 4-19(b)所示。已知 $m(t)$ 的频谱如图 4-19(a), 载频 $w_1 \ll w_2$, $w_1 > w_H$ 且理想低通滤波器的截止频率为 w_1 , 时求输出信号 $s(t)$, 并说 $s(t)$ 为何种已调信号。

解 设 $m(t)$ 与 $\cos w_1 t$ 相乘后的输出为 $s_1(t)$, 则 $s_1(t)$ 是一个 DSB 信号, 其频谱如图 4-20(a) 所示。 $s_1(t)$ 再经过截止频率为 w_1 的理想低通滤波器, 所得输出信号 $s_1(t)$ 显然是一个下边带信号, 其频谱略

时域表达式则为

$$s_1(t) = 1/2 m(t) \cos w_1 t + 1/2 \hat{m}(t) \sin w_1 t$$

同理, $m(t)$ 与 $\sin w_1 t$ 相乘后的输出 $s_2(t)$ 再经过理想低通滤波器之后, 得到输出信号 $s_2(t)$ 也是一个下边带信号, 其时域表示式为

$$s_2(t) = 1/2 m(t) \sin w_1 t + 1/2 \hat{m}(t) \cos w_1 t$$

因此, 调制器最终的输出信号

$$\begin{aligned} s(t) &= [1/2 m(t) \cos w_1 t + 1/2 \hat{m}(t) \sin w_1 t] \cos w_2 t + [1/2 m(t) \sin w_1 t + 1/2 \hat{m}(t) \cos w_1 t] \sin w_2 t \\ &= 1/2 m(t) [\cos w_1 t \cos w_2 t - \sin w_1 t \sin w_2 t] + 1/2 \hat{m}(t) [\sin w_1 t \cos w_2 t - \cos w_1 t \sin w_2 t] = 1/2 m(t) \cos(w_2 - w_1)t - 1/2 \hat{m}(t) \sin(w_2 - w_1)t \end{aligned}$$

显然, $s(t)$ 是一个载波角频率为 $(\omega_2 - \omega_1)$ 的上边带信号。

4-6 某调制系统如图 4-21 所示。为了在输出端同时分别得到 $f_1(t)$ 和 $f_2(t)$, 试确定接收端的 $c_1(t)$ 和 $c_2(t)$ 。

解 设发送端合成以后的发送信号 $f(t) = f_1(t) \cos \omega_0 t + f_2(t) \sin \omega_0 t$ 。根据图 4-21 的处理框图, 接受端采用的是相干解调, 若假设相干载波为 $\cos \omega_0 t$, 则解调后的输出

$$\begin{aligned} f_0(t) &= f(t) \cdot \cos \omega_0 t \Big|_{\text{LPF}} \\ &= [f_1(t) \cos \omega_0 t + f_2(t) \sin \omega_0 t] \cos \omega_0 t \Big|_{\text{LPF}} \\ &= [1/2 f_1(t) + 1/2 f_1(t) \cos 2\omega_0 t + 1/2 f_2(t) \sin 2\omega_0 t] \Big|_{\text{LPF}} \\ &= 1/2 f_1(t) \end{aligned}$$

这时可以得到 $f_1(t)$ 。

同理。假设接收端的相干载波为 $\sin \omega_0 t$, 则解调后的输出

$$\begin{aligned} f_0(t) &= f(t) \cdot \sin \omega_0 t \Big|_{\text{LPF}} \\ &= [f_1(t) \cos \omega_0 t + f_2(t) \sin \omega_0 t] \sin \omega_0 t \Big|_{\text{LPF}} \\ &= [1/2 f_1(t) \sin 2\omega_0 t + 1/2 f_2(t) \cos 2\omega_0 t] \Big|_{\text{LPF}} \\ &= 1/2 f_2(t) \end{aligned}$$

这时可以得到 $f_2(t)$ 。

综上所述, 可以确定 $c_1(t) = \cos \omega_0 t$, $c_2(t) = \sin \omega_0 t$ 。

4-7 设某信道具有均匀的双边噪声功率谱密度 $P_n(f) = 0.5 \times 10^{-3} \text{ W/Hz}$, 在该信道中传输抑制载波的双边带信号, 并设调制信号 $m(t)$ 的频带限制在 5KHz, 而载波为 100 KHz, 已调信号的功率为 10Kw。若接收机的输入信号在加至解调器之前, 先经过一理想带通滤波器滤波, 试问:

- (1) 该理想带通滤波器应具有怎样的传输特性 $H(\omega)$?
- (2) 解调器输入端的信噪功率比为多少?
- (3) 解调器输出端的信噪功率比为多少?
- (4) 求解调器输出端的噪声功率谱密度, 并用图形表示出来。

解 (1) 该理想带通滤波器是用于滤除带外噪声, 并保证已调

信号顺利通过。由于已调信号的中心频率为载频 100 KHz, 带宽则是 $m(t)$ 带宽的两倍, 即 $B = 2 \times 5 \text{ KHz} = 10 \text{ KHz}$, 为保证信号顺利通过, 理想带通滤波器具有如下传输特性:

$$H(\omega) = \begin{cases} K, 95\text{kHz} \leq |f| \leq 105\text{kHz} \\ 0, \text{其它} \end{cases}$$

其中, K 为常数。

(2) 解调器输入端的噪声是经过理想带通滤波器后的高斯窄带噪声, 其带宽为 B , 因此输入端的噪声功率

$$N_i = 2P_n(f) \cdot B = 2 \times 0.5 \times 10^{-3} \times 10 \times 10^3 = 10\text{W}$$

已知输入信号功率 $S_i = 10\text{Kw}$, 故有

$$S_i / N_i = \frac{10 \times 10^3}{10} = 1000$$

(3) 由于双边带调制系统的调制制度增益 $G=2$, 因此, 解调器输出端的信噪比

$$S_o / N_o = 2 \times \frac{S_i}{N_i} = 2000$$

- (4) 相干解调时, 解调器的输出噪声 $n_0(t)=1/2 n_c(t)$, 其中 $n_c(t)$ 是解调器输入端高斯窄带噪声的同向分量, 其功率谱密度

$$P_{nc}(f) = \begin{cases} 2P_n(f) = 10^{-3} \text{ W / Hz}, & |f| \leq \frac{B}{2} = 5 \text{ kHz} \\ 0, & \text{其它} \end{cases}$$

- (5) 因此输出噪声 $n_0(t)$ 的功率谱密度为

$$P_{no}(f) = \frac{1}{4} P_{nc}(f) = \begin{cases} 0.25 \times 10^{-3} \text{ W / Hz}, & |f| \leq 5 \text{ kHz} \\ 0, & \text{其它} \end{cases}$$

4-8 若对某一信号用 DSB 进行传输, 设加至接收机的调制信号 $m(t)$ 之功率谱密度为

$$P_m(f) = \begin{cases} \frac{n_m}{2} \cdot \frac{|f|}{f_m}, & |f| \leq f_m \\ 0, & |f| > f_m \end{cases}$$

试求:

- (1) 接收机的输入信号功率;
- (2) 接收机的输出信号功率;
- (3) 若叠加于 DSB 信号的白噪声具有双边带功率谱密度为 $n_0/2$, 设解调器的输出端接有截止频率为 f_m 的理想低通滤波器, 那么, 输出信噪功率比是多少?

解

- (1) 设 DSB 已调信号 $s_{DSB}(t)=m(t) \cos \omega_c t$, 则接收机的输入信号功率

$$\begin{aligned} S_i &= \overline{s_{DSB}^2(t)} = \frac{1}{2} \overline{m^2(t)} = \frac{1}{2} \int_{-\infty}^{\infty} P_m(f) df \\ &= \frac{1}{2} \times 2 \times \int_0^{f_m} \frac{n_m}{2} \cdot \frac{f}{f_m} df \\ &= \frac{n_m f_m}{4} \end{aligned}$$

- (2) 相干解调之后, 接收机的输出信号 $m_0(t)=1/2 m(t)$, 因此, 输出信号功率

$$S_o = \overline{m_o^2(t)} = \frac{1}{4} \overline{m^2(t)} = \frac{n_m f_m}{8}$$

- (3) 解调器的输入噪声功率为

$$N_i = n_0 B = 2 n_0 f_m$$

对于相干解调方式, 解调器输出噪声功率

$$N_o = 1/4 N_i = n_0 f_m / 2$$

因此, 输出信噪功率比

$$S_o / N_o = (n_m f_m / 8) / (n_0 f_m / 2) = \frac{n_m}{4 n_0}$$

4-9 设某信道具有均匀的双边噪声功率谱密度 $P_n(f)=0.5 \times 10^{-3} \text{W/Hz}$, 在该信道中传输抑制载波的单边带(上边带)信号, 并设调制信号 $m(t)$ 的频带限制在 5KHz, 而载波为 100 KHz, 已调信号的功率为 10Kw。若接收机的输入信号在加至解调器之前, 先经过一理想带通滤波器滤波, 试问:

- (1) 该理想带通滤波器应具有怎样的传输特性 $H(w)$?
- (2) 解调器输入端的信噪功率比为多少?
- (3) 解调器输出端的信噪功率比为多少?

解 (1) 单边带信号的载频 100 KHz, 带宽 $B=5 \text{ KHz}$ 。为保证信号顺利通过, 理想带通滤波器具有如下传输特性:

$$H(w) = \begin{cases} K, 100\text{kHz} \leq |f| \leq 105\text{kHz} \\ 0, \text{其它} \end{cases}$$

- (2) 解调器输入端的噪声与已调信号的带宽相同,

$$N_i = 2P_n(f) \cdot B = 2 \times 0.5 \times 10^{-3} \times 5 \times 10^3 = 5 \text{W}$$

同时已知输入信号功率 $S_i = 10 \text{Kw}$, 故有

$$S_i / N_i = 10 \times 10^3 / 5 = 2000$$

- (6) 由于单边带调制系统的调制制度增益 $G=1$, 因此, 解调器输出端的信噪比

$$S_o / N_o = S_i / N_i = 2000$$

4-10 某线性调制系统的输出信噪比为 20dB, 输出噪声功率为 10^{-9}W , 由发射机输出端到解调器输入之间总的传输损耗为 100 dB, 试求:

- (1) DSB/SC 时的发射机输出功率;
- (2) SSB/SC 时的发射机输出功率.

解

- (1) 在 DSB/SC 方式中, 调制制度增益 $G=2$, 因此解调器输入信噪比

$$S_i / N_i = 1/2 \times S_o / N_o = 1/2 \times 10^{10/20} = 50$$

同时, 在相干解调时,

$$N_i = 4 N_o = 4 \times 10^{-9} \text{W}$$

因此解调器输入端的信号功率

$$S_i = 50 N_i = 2 \times 10^{-7} \text{W}$$

考虑到发射机输出端到解调器输入之间传输损耗为 100 dB, 可得发射机输出功率

$$S_o = 10^{100/10} \times S_i = 2 \times 10^3 \text{W}$$

- (2) 在 SSB/SC 方式中, 调制制度增益 $G=1$,

$$S_i / N_i = S_o / N_o = 100$$

同时, 在相干解调时,

$$N_i = 4 N_o = 4 \times 10^{-9} \text{W}$$

因此解调器输入端的信号功率

$$S_i = 100 N_i = 4 \times 10^{-7} \text{W}$$

考虑到发射机输出端到解调器输入之间传输损耗为 100 dB, 可得发射机输出功率

$$S_o = 10^{100/10} \times S_i = 4 \times 10^3 \text{W}$$

4-11 设调制信号 $m(t)$ 的功率谱密度与题 4-8 相同, 若用 SSB 调制方式进行传输(忽略信道的影响), 试求:

- (1) 接收机的收入信号功率;

(2)接收机的输出信号功率；

(3)若叠加于 SSB 信号的白噪声具有双边带功

率谱密度为 $n_0/2$, 设解调器的输出端接有截止频率为 f_m 的理想低通滤波器, 那么, 输出信噪功率比是多少?

(4)该系统的调制制度增益 G 为多少?

解

(1) 设 SSB 已调信号 $s_{SSB}(t) = 1/2 m(t) \cos \omega_c t \pm 1/2 \hat{m}(t) \sin \omega_c t$,

则接收机的输入信号功率

$$S_i = \frac{1}{4} \overline{m^2(t)} = \frac{1}{4} \times 2 \int_0^{f_m} \frac{n_m}{2} \cdot \frac{f}{f_m} df$$

$$= \frac{n_m f_m}{8}$$

(2)相干解调之后, 接收机的输出信号 $m_0(t) = 1/4 m(t)$, 因此, 输出信号功率

$$S_o = \overline{m_0^2(t)} = \frac{1}{16} \overline{m^2(t)}$$

$$= \frac{n_m f_m}{32}$$

(3)对于相干解调方式, 解调器输出噪声功率

$$N_o = 1/4 N_i = n_0 f_m / 4$$

因此, 输出信噪功率比

$$S_o / N_o = (n_m f_m / 32) / (n_0 f_m / 4) = \frac{f_m}{8 n_0}$$

(4)由以上分析可得, $S_o = 1/4 S_i$, $N_o = 1/4 N_i$, 该系统的调制制度增益

$$G = (S_o / N_o) / (S_i / N_i) = 1$$

4-12 试证明: 当 AM 信号采用同步检测法进行解调时, 其制度增益 G 与大信噪比情况下 AM 采用包络检波解调时的制度增益 G 的结果相同。

证明 设解调器输入 AM 信号 $s_{AM}(t)$ 为

$$s_{AM}(t) = [A + m(t)] \cos \omega_c t$$

式中, $A \geq |m(t)|_{\max}$, 输入噪声 $n_i(t)$ 为

$$n_i(t) = n_c(t) \cos \omega_c t - n_s(t) \sin \omega_c t$$

显然, 解调器输入的信号功率 S_i 和噪声功率 N_i 分别为

$$S_i = \overline{s_{AM}^2(t)} = \frac{A^2}{2} + \frac{\overline{m^2(t)}}{2}$$

$$N_i = \overline{n_i^2(t)} = n_0 B$$

设同步检测时的相干载波为 $\cos \omega_c t$, 则解调器的输出 $s_0(t)$ 应为

$$\begin{aligned} s_0(t) &= [s_{AM}(t) + n_i(t)] \cos \omega_c t \Big|_{LPF} \\ &= \{ [A + m(t)] \cos \omega_c t \cos \omega_c t \\ &\quad + [n_c(t) \cos \omega_c t - n_s(t) \sin \omega_c t] \} \Big|_{LPF} \\ &= A/2 + m(t)/2 + n_c(t)/2 \end{aligned}$$

其中有用信号为 $m(t)/2$ ，噪声分量为 $n_c(t)/2$ ，直流分量 $A/2$ 可以除去，因此输出信号功率 s_0 和 N_o 分别为

$$\begin{aligned} S_o &= \frac{1}{4} \overline{m^2(t)} \\ N_o &= \frac{1}{4} \overline{n_c^2(t)} = \frac{1}{4} N_i \end{aligned}$$

所以，在采用同步检测法进行解调时，AM 信号的调制制度增益

$$G = \frac{S_o / N_o}{S_i / N_i} = \frac{\overline{2m^2(t)}}{A^2 + \overline{m^2(t)}}$$

4-13 设某信道具有均匀的双边噪声功率谱密度 $P_n(f) = 0.5 \times 10^{-3} \text{ W/Hz}$ ，在该信道中传输振幅信号，并设调制信号 $m(t)$ 的频带限制于 5KHz ，载频是 100kHz ，边带功率为 10kW ，载波功率为 40kW 。若接收机的输入信号先经过一个合适的理想带通滤波器，然后在加至包络检波器进行解调。试求：

- (1) 解调器输入端的信噪功率比；
- (2) 解调器输出端的信噪功率比；
- (3) 制度增益 G 。

解

(1) 设振幅调制信号 $s_{AM}(t) = [A + m(t)] \cos \omega_c t$ ，则已调信号

功率

$$S_i = \frac{A^2}{2} + \frac{\overline{m^2(t)}}{2} = P_c + P_s$$

根据题意可知， $P_c = \frac{A^2}{2} = 40\text{kW}$ ， $P_s = \frac{\overline{m^2(t)}}{2} = 10\text{kW}$ ，因此

$$S_i = P_c + P_s = 40 + 10 = 50\text{kW}$$

另外，输入端的噪声功率

$$N_i = 2P_n(f) \cdot B = 2 \times 0.5 \times 10^{-3} \times 5 \times 10^3 \times 2 = 10\text{W}$$

故有输入信噪比

$$S_i / N_i = 50 \times 10^3 / 10 = 5000$$

(2) 在大信噪比，即 $A + m(t) \gg n_i(t)$ 时，包络检波器的输出为

$$e(t) = A + m(t) + n_c(t)$$

其中 $m(t)$ 为有用信号， $n_c(t)$ 为噪声分量。故有

$$S_0 = \overline{m^2(t)} = 2 \times 10 \text{ kW}$$

$$N_o = \overline{n_c^2(t)} = N_i = 10 \text{ W}$$

因此输出信噪比

$$S_o / N_o = 20 \times 10^3 / 10 = 2000$$

(3) 根据(1)(2)结果, 可得

$$G = (S_o / N_o) / (S_i / N_i) = 2000 / 5000 = 2/5$$

4-14 设被接受的调幅信号为 $s_m(t) = A[1+m(t)]\cos\omega_c t$, 采用包络检波法解调, 其中 $m(t)$ 的功率谱密度与题 4-8 相同。若一双边功率谱密度为 $n_0/2$ 的噪声叠加于已调信号, 试求解调器输出的信噪功率比。

解 在大信噪比, 即 $A+m(t) \gg n_i(t)$ 时, 包络检波器的输出为

$$e(t) = A+m(t)+n_c(t)$$

其中 $m(t)$ 为有用信号, $n_c(t)$ 为噪声分量。故有

$$S_0 = \overline{m^2(t)} = 2 \int_0^{f_m} \frac{n_m}{2} \cdot \frac{f}{f_m} df$$

$$= \frac{n_m f_m}{2}$$

$$N_o = \overline{n_c^2(t)} = n_i^2(t) = n_0 B = 2n_0 f_m$$

因此解调器输出信噪比

$$S_o / N_o = (n_m f_m / 2) / (2n_0 f_m) = \frac{n_m}{4n_0}$$

4-15 试证明: 若在残留边带信号中加入大的载波, 则可用包络检波法实现解调。

证明 设调制信号为 $f(t)$, 残留边带滤波器特性为 $h(t) \Leftrightarrow H(\omega)$, 则残留边带信号 $s_{VSB}(t)$ 为

$$s_{VSB}(t) = [f(t) \cos\omega_c t] * h(t)$$

$$= \int_{-\infty}^{\infty} f(t-\tau) \cos\omega_c (t-\tau) h(\tau) d\tau$$

$$= \int_{-\infty}^{\infty} f(t-\tau) \cos\omega_c t \cos\omega_c \tau + \sin\omega_c t \sin\omega_c \tau h(\tau) d\tau$$

$$= \cos\omega_c t \int_{-\infty}^{\infty} f(t-\tau) h(\tau) \cos\omega_c \tau d\tau + \sin\omega_c t \int_{-\infty}^{\infty} f(t-\tau) h(\tau) \sin\omega_c \tau d\tau \quad \text{其中 } h_c(t) =$$

$$= [f(t) * h_c(t)] \cos\omega_c t, h_s(t) = h(t) \sin\omega_c t$$

$$h(t) \cos\omega_c t, h_s(t) = h(t) \sin\omega_c t$$

设 $f(t)$ 的截止频率为 ω_H ,

根据残留边带滤波器特性

$$H(\omega + \omega_c) + H(\omega - \omega_c) = C, \quad \omega < \omega_H$$

可得

$$f(t) * h_c(t) \Leftrightarrow F(\omega) [H(\omega + \omega_c) + H(\omega - \omega_c)] = CF(\omega)$$

即 $f(t) * h_c(t) = C f(t)$, (C 为常数)

架设在残留边带信号中加入一个大载波,

$$s(t) = s_{VSB}(t) + A \cos \omega_c t$$

$$= [cf(t) + A] \cos \omega_c t + [f(t) * h_s(t)] \sin \omega_c t$$

$$\text{其中包络 } v(t) = \sqrt{[cf(t) + A]^2 + [f(t) * h_s(t)]^2} \approx cf(t) + A$$

去直流,即可从包络信号中恢复出原始的基带信号 $f(t)$.

4-16 设一宽带信号频率调制系统,载波振幅为 100V,频率为 100MHz,调制信号 $m(t)$ 的频带限制于 5kHz, $\overline{m^2(t)} = 5000V^2$, $k_f = 500$ Hz/V,最大频偏 $f = 75$ kHz,并设信道中噪声功率谱密度是均匀的,其 $P_n(f) = 10^{-3} W/Hz$ (单边谱),试求:

- (2) 短接收机输入端理想带通滤波器的传输特性 $H(w)$;
- (3) 解调器输入端的信噪功率比;
- (4) 解调器输出端的信噪功率比;
- (5) 若 $m(t)$ 以调振幅方法传输。并以包络检波器检波,试比较在输出信噪比和所需带宽方面与频率调制系统有何不同?

解

- (1) 接收机输入端的带通滤波器应该能让已调信号完全通过,并最大限度地滤除带外噪声。根据题意可知

$$m_f = f/f_m = 75/5 = 15$$

品带信号带宽

$$B = 2(m_f + 1) f_m = 2 \times (15 + 1) \times 5 = 160$$

信号所处频率范围为 $100MHz \pm 0.16$ kHz /2 MHz。因此,理想带通滤波器的传输特性应为

$$H(w) = \begin{cases} K, 99.92MHz \leq |f| \leq 100.08MHz \\ 0, \text{其它} \end{cases}$$

其中 K 为常数。

- (2) 设解调器输入端的信号为

$$s_{FM}(t) = A \cos[w_c t + \int_{-\infty}^t k_f m(\tau) d\tau]$$

则该点的信号功率和噪声功率分别为

$$S_i = A^2/2 = 100^2/2 = 5000$$

$$N_i = P_n(f) \cdot B = 10^{-3} \times 160 \times 10^3 = 160W$$

故有

$$S_i / N_i = 5000/160 = 31.2$$

- (3) 根据调频信号解调器输出信噪比公式

$$\frac{S_o}{N_o} = \frac{3A^2 k_f^2 \overline{m^2(t)}}{8\pi^2 n_o f_m^3} = \frac{3 \times 100^2 \times (500\pi)^2 \times 5000}{8\pi^2 \times 10^{-3} \times (5 \times 10^3)^3} = 37500$$

- (4) 若以振幅调制方法传输 $m(t)$,则所需带宽

$$B_{AM} = 2 f_m = 10 \text{ kHz} < B_{FM} = 160 \text{ kHz}$$

同时，包络检波器输出信噪比

$$\frac{S_o}{N_o} = \frac{\overline{m^2(t)}}{\overline{n^2_c(t)}} = \frac{\overline{m^2(t)}}{N_i} = \frac{5000}{10^{-3} \times 10 \times 10^3}$$

$$= 500 < \left(\frac{S_o}{N_o}\right)_{FM} = 37500$$

由此可见，频率调制系统于振幅调制系统相比，试通过增加信号带宽，提高了输出信噪比。

4-17 设有一个频分多路复用系统，副载波用 DSB/SC 调制，主载波用 FM 调制。如果有 60 路等幅的音频输入通路，每路频带限制在 3.3 kHz 以下，防护频带为 0.7 kHz。

- (1) 如果最大频偏为 800 kHz，试求传输信号的带宽；
- (2) 试分析与第一路相比时第 60 路输入信噪比降低的程度(降低鉴频器输入的噪声是白色的，且解调器中无加重电路)。

解

- (1) 分两种情况讨论：

各路信号经过 DSB 调制后，在相邻两路信号之间架防护频带 f_g ，其频谱结构(FM 调制以前的信号频谱)略。

设频分复用之后的 60 路 DSB 信号总带宽为 f_m

则有

$$f_m = n \times 2 f_m + (n-1) f_g = 60 \times 2 \times 3.3 + 59 \times 0.7$$

$$= 437.3 \text{ kHz}$$

对该信号进行 FM 调制，最终所得传输信号的带宽为

$$B = 2(f + f_m) = 2 \times (800 + 437.3) = 2474.6 \text{ kHz} \quad 2.48 \text{ MHz}$$

各路音频信号加上防护频带之后，再进行 DSB 调制，频分复用的频谱结构略。

该信号的总带宽

$$f_m = n \times (2 f_m + 2 f_g) - 2 f_g = 60 \times (3.3 + 0.7) \times 2 - 1.4$$

$$= 478.6 \text{ kHz}$$

在经过 FM 调制，所得传输信号的带宽为

$$B = 2(f + f_m) = 2 \times (800 + 478.6) = 2557.2 \text{ kHz} \quad 2.56 \text{ MHz}$$

- (2) 根据题意可画出该频分复用系统的实现方框图，如图 4-25 所示。接收信号经过鉴频器解调之后，通过各带通滤波器 BPF_1, BPF_6 分离出各路 DSB 信号 $s_{i1}(t)$ 到 $s_{i60}(t)$ 以及对应的噪声 $n_{i1}(t)$ 到 $n_{i60}(t)$ 。因此第 k 路的输入信噪比可定义为：

$$SNR_k = \frac{S_{ik}}{N_{ik}} = \frac{\overline{S_{ik}^2}}{\overline{N_{ik}^2}}$$

由题意可得，各路信号功率相等，即 $S_{i1} = S_{i2} = \dots = S_{i60}$ 。

同时，根据鉴频器特性可知，鉴频器输出噪声功率谱密度

$$P_{no}(w) \propto w n_o, |f| \leq \frac{B}{2}$$

其中 n 为鉴频器输入白噪声的功率谱密度。这意味着鉴频器输出的噪声功率谱密度将不再均匀，而是与噪声所处频率位置有关。

由此可以得出第 1 路与第 60 路的信噪比关系：

$$\begin{aligned}\frac{SNR_1}{SNR_{60}} &= \frac{S_{i1}/N_{i1}}{S_{i60}/N_{i60}} = \frac{N_{i60}}{N_{i1}} = \frac{\int_{472}^{480} f^2 df}{\int_0^8 f^2 df} \\ &= \frac{480^3 - 472^3}{8^3} = 10621(40.2dB)\end{aligned}$$

5.2 习题解答

5-1 设二进制符号序列为 110010001110. 试以矩形脉冲为例,分别画出相应的单极性波形,双极性波形,单极性归零波形,双极性归零波形,, 二进制差分波形及八电平波形。

5-2 设二进制随机脉冲序列有 0 和 1 组成, 出现 $g_1(t)$ 的概率为 p , 出现 $g_2(t)$ 的概率 $(1-p)$ 。

证明:

如果

答: AMI 码 +1 -1 0 +1 0 0 -1 0 0 0 0 +1 ;
HDB3 码 +1 -1 0 +1 0 0 -1 0 0 0 -V 0 +1 ;

$$p = \frac{1}{1 - \frac{g_1(t)}{g_2(t)}} = k (\text{与 } t \text{ 无关})$$

且 $0 < k < 1$, 则脉冲序列将无离散谱

证明

已知

$$p = \frac{1}{1 - \frac{g_1(t)}{g_2(t)}} = k$$

则有

$$p g_1(t) + (1 - p) g_2(t) = 0$$

将上式两边做傅里叶变换, 得

$$p G_1(f) + (1 - p) G_2(f) = 0$$

其中,

$G_1(f)$ 和 $G_2(f)$ 分别为 $g_1(t)$ 和 $g_2(t)$ 的傅里叶变换。

令 $f = m f_s$, 得到

$$p G_1(m f_s) + (1 - p) G_2(m f_s) = 0$$

将上式代入二进制随脉冲序列的功率谱密度表达式 (5-2) 中, 显然离散部分将为 0。

5-3 设随机二进制序列中的 0 和 1 分别由 $g(t)$ 和 $-g(t)$ 组成, 它们的出现概率分别为 p 及 $(1 - p)$

(1) 求其功率谱密度及功率。

(2) 若 $g(t)$ 为如图 5-6(a) 所示波形, T_s 为码元宽度, 问该序列存在离散分量 $f_s = 1/T_s$ 否?

(3) 若 $g(t)$ 改为图 5-6(b), 回答题 (2) 所问。

解

(1) 双极性波形的功率谱密度为

$$P_s(f) = 4 f_s p(1 - p) |G(f)|^2 + \sum_{m=-\infty}^{+\infty} |f_s [(2p - 1) G(m f_s)]|^2 \delta(f - m f_s)$$

其功率

$$\begin{aligned} S &= \frac{1}{2\pi} \int_{-\infty}^{+\infty} P_s(w) dw = \int_{-\infty}^{+\infty} P_s(f) df \\ &= \int_{-\infty}^{+\infty} [4 f_s p(1 - p) |G(f)|^2 + \sum_{m=-\infty}^{+\infty} |f_s [(2p - 1) G(m f_s)]|^2 \delta(f - m f_s)] df \\ &= 4 f_s p(1 - p) \int_{-\infty}^{+\infty} |G(f)|^2 df + f_s^2 (2p - 1)^2 \sum_{m=-\infty}^{+\infty} |G(m f_s)|^2 \end{aligned}$$

(2) 若

$$\begin{cases} g(t) = 1, |t| \leq \frac{T_s}{2} \\ 0, \text{其它} \end{cases}$$

$g(t)$ 傅里叶变换 $G(f)$ 为

$$G(f) = T_s \frac{\sin \pi f T_s}{\pi f T_s}$$

$$\text{因为 } G(f_s) = T_s \frac{\sin \pi f_s T_s \pi}{\pi f_s T_s} = T_s \frac{\sin \pi}{\pi} = 0$$

由题(1)中的结果知,此时的离散分量为0。

(3) 若

$$\begin{cases} g(t) = 1, |t| \leq \frac{T_s}{4} \\ 0, \text{其它} \end{cases}$$

$g(t)$ 的傅氏变换 $G(f)$ 为

$$G(f) = \frac{T_s}{2} \frac{\sin \frac{\pi f T_s}{2}}{\pi f \frac{T_s}{2}}$$

$$\text{因为 } G(f) = \frac{T_s}{2} \frac{\sin \frac{\pi f T_s}{2}}{\pi f \frac{T_s}{2}} = \frac{T_s}{2} \frac{\sin \frac{\pi}{2}}{\frac{\pi}{2}} = \frac{T_s}{\pi} \neq 0$$

所以该二进制序列存在离散分量 $f_s = \frac{1}{T_s}$ 。

5-4 设某二进制数字基带信号的基本脉冲为三角形脉冲,如图 5-7(a)所示。图中 T_s 为码元间隔,数字信息“1”和“0”分别用 $g(t)$ 的有无表示,且“1”和“0”出现的概率相等:

- (1) 求该数字基带信号的功率谱密度,并画出功率谱密度图;
- (2) 能否从该数字基带信号中提取码元同步所需的频率 $f_s = 1/T_s$ 的分量?若能,试计算该分量的功率。

解

(1) 对于单极性基带信号, $g_1(t) = 0, g_2(t) = 0 = g(t)$, 随机脉冲序列的功率谱密度为

$$p_s(f) = f_s p(1-p) |G(f)|^2 + \sum_{m=-\infty}^{\infty} |f_s(1-p)G(mf_s)|^2 \delta(f - mf_s)$$

当 $p=1/2$ 时,

$$g(t) = \frac{f_s}{4} |G(f)|^2 + \sum_{m=-\infty}^{\infty} |G(mf_s)|^2 \frac{f_s^2}{4} \delta(f - mf_s)$$

由图 5-7(a)得

$$g(t) = \begin{cases} A(1 - \frac{2}{T_s}|t|), & |t| \leq \frac{T_s}{2} \\ 0, & \text{其它} \end{cases}$$

$g(t)$ 的傅里叶变换 $G(f)$ 为

$$G(f) = \frac{AT_s}{2} s^2 a(\frac{\pi f T_s}{2})$$

代入功率谱密度函数式, 得

$$\begin{aligned} P_s(f) &= \frac{f_s}{4} \left| \frac{AT_s}{2} s^2 a(\frac{\pi f T_s}{2}) \right|^2 + \sum_{m=-\infty}^{+\infty} \frac{f_s^2}{4} \left| \frac{AT_s}{2} s^2 a(\frac{\pi m f_s T_s}{2}) \right|^2 \delta(f - mf_s) \\ &= \frac{A^2 T_s}{16} s^4 a(\frac{\pi f T_s}{2}) + \frac{A^2}{16} \sum_{m=-\infty}^{+\infty} s^4 a(\frac{m\pi}{2}) \delta(f - mf_s) \end{aligned}$$

其功率谱密度图如图 5-7(b) 所示。

(2) 由图 5-7(b) 中可以看出, 该基带信号功率谱密度中含有频率 $f_s=1/T_s$ 的离散分量, 故可以提取码元同步所需的频率 $f_s=1/T_s$ 的分量。

由题(1)中的结果, 该基带信号中的离散分量为 $P_v(w)$ 为

$$P_v(f) = \frac{A^2}{16} \sum_{m=-\infty}^{+\infty} s^4 a(\frac{m\pi}{2}) \delta(f - mf_s)$$

当 m 取 ± 1 时, 即 $f = \pm f_s$ 时, 有

$$P_v(f) = \frac{A^2}{16} s^4 a\left(\frac{\pi}{2}\right) \delta(f - f_s) + \frac{A^2}{16} s^4 a\left(\frac{\pi}{2}\right) \delta(f + f_s)$$

所以该频率分量的功率为

$$S = \frac{A^2}{16} s^4 a\left(\frac{\pi}{2}\right) + \frac{A^2}{16} s^4 a\left(\frac{\pi}{2}\right) = \frac{2A^2}{\pi^4}$$

5-5 设某二进制数字基带信号中, 数字信号“1”和“0”分别由 $g(t)$ 及 $-g(t)$ 表示, 且“1”与“0”出现的概率相等, $g(t)$ 是升余弦频谱脉冲, 即

$$g(t) = \frac{1}{2} \frac{\cos\left(\frac{\pi}{T_s} t\right)}{1 - \frac{4t^2}{T_s^2}} sa\left(\frac{\pi}{T_s} t\right)$$

- (1) 写出该数字基带信号的功率谱密度表示式, 并画出功率谱密度图;
- (2) 从该数字基带信号中能否直接提取频率 $f_s = 1/T_s$ 的分量。
- (3) 若码元间隔 $T_s = 10^{-3} \text{s}$, 试求该数字基带信号的传码率及频带宽度。

解

- (1) 当数字信息“1”和“0”等概率出现时, 双极性基带信号的功率谱密度

$$P_s(f) = f_s |G(f)|^2$$

$$\text{已知 } g(t) = \frac{1}{2} \frac{\cos\left(\frac{\pi}{T_s} t\right)}{1 - \frac{4t^2}{T_s^2}} sa\left(\frac{\pi}{T_s} t\right), \text{ 其傅氏变换为}$$

$$G(f) = \begin{cases} \frac{T_s}{4} (1 + \cos \pi f T_s), & |f| \leq \frac{1}{T_s} \\ 0, & \text{其它} \end{cases}$$

代入功率谱密度表达式中, 有

$$P_s(f) = \frac{T_s}{16} (1 + \cos \pi f T_s)^2, |f| \leq \frac{1}{T_s}$$

如图 5-8 所示。

5-6 设某双极性基带信号的基本脉冲波形如图 5-9(a)所示。它是一个高度为 1, 宽度为 T_s 的矩形脉冲, 且已知数字信息“1”的出现概率为 $3/4$, “0”的出现概率为 $1/4$ 。

- (1) 写出该双极性信号的功率谱密度的表示式, 并画出功率谱密度图;
- (2) 由该双极性信号中能否直接提取频率为 $f_s = 1/T_s$ 的分量? 若能, 试计算该分量的功率。

解

(1) 双极性信号的功率谱密度为

$$P_s(f) = 4f_s p(1-p) |G(f)|^2 + \sum_{m=-\infty}^{\infty} |f_s (2p-1) G(mf_s)|^2 \delta(f - mf_s)$$

当 $p = \frac{1}{4}$ 时, 有

$$P_s(f) = \frac{3}{4} f_s |G(f)|^2 + \frac{f_s^2}{4} \sum_{m=-\infty}^{\infty} |G(mf_s)|^2 \delta(f - mf_s)$$

已知

$$g(t) = \begin{cases} 1, & |t| \leq \frac{\tau}{2} \\ 0, & \text{其它} \end{cases}$$

故 $G(f) = \tau \frac{\sin \pi f \tau}{\pi f \tau} = \tau a(\pi f \tau)$

将上式代入 $P_s(f)$ 的表达式中, 得

$$P_s(f) = \frac{3}{4} f_s \tau^2 s^2 a(\pi f \tau) + \frac{f_s^2 \tau^2}{4} \sum_{m=-\infty}^{\infty} s^2 a(\pi m f_s \tau) \delta(f - m f_s)$$

将 $\tau = \frac{1}{3} T_s$ 代入上式得

$$P_s(f) = \frac{1}{12} T_s^2 s^2 a\left(\frac{\pi f T_s}{2}\right) + \frac{1}{36} \sum_{m=-\infty}^{\infty} s^2 a\left(\frac{\pi m}{2}\right) \delta(f - m f_s)$$

功率谱密度如图 5-9(b) 所示。

(2) 由图 5-9(b) 可以看出, 由该双极性信号可以直接提取频率为 $f_s = 1/T_s$ 的分量。该基带信号中的离散分量为 $P_v(w)$ 为

$$P_v(w) = \frac{1}{36} \sum_{m=-\infty}^{\infty} s^2 a\left(\frac{\pi m}{2}\right) \delta(f - m f_s)$$

当 m 取 ± 1 时, 即 $f = \pm f_s$ 时, 有

$$P_v(w) = \frac{1}{36} s^2 a\left(\frac{\pi}{3}\right) \delta(f - f_s) + \frac{1}{36} s^2 a\left(\frac{\pi}{3}\right) \delta(f + f_s)$$

所以频率为 $f_s = \frac{1}{T_s}$ 分量的功率为

$$S = \frac{1}{36} s^2 a\left(\frac{\pi}{3}\right) + \frac{1}{36} s^2 a\left(\frac{\pi}{3}\right) = \frac{3}{8\pi^2}$$

5-7 已知信息代码为 10000000011, 求相应的 AMI 码, HDB₃ 码, PST 码及双相码。

解 AMI 码: +1 0000 00000 -1 +1

HDB₃ 码: +1 000+V -B00 -V0 +1 -1

PST 码: (+模式)+0 - - - - - + -

(-模式)-0 - - - - - + -

双相码: 10 01 01 01 01 01 01 01 01 10 10

5-8 已知信息代码为 1010000011000011, 试确定相应的 AMI 码及 HDB₃ 码, 并画出它们的波形图。

5-9 某基带传输系统接受滤波器输出信号的基本脉冲为如图 5-10 所示的三角形脉冲。

(1) 求该基带传输系统的传输函数 $H(w)$;

(2) 假设信道的传输函数 $C(w)=1$, 发送滤波器和接受滤波器具有相同的传输函数, 即 $G_T(w)=G_R(w)$, 试求这时 $G_T(w)$ 或 $G_R(w)$ 的表达式。

解

(1) 由图 5-10 得

$$h(t) = \begin{cases} \left(1 - \frac{2}{T_s} \left| t - \frac{T_s}{2} \right| \right), & 0 \leq t \leq T \\ 0, & \text{其它} \end{cases}$$

基带系统的传输函数 $H(w)$ 由发送滤波器 $G_T(w)$, 信道 $C(w)$ 和接受滤波器 $G_R(w)$ 组成, 即

$$H(w) = G_T(w)C(w)G_R(w)$$

$$C(w)=1, \quad G_T(w)=G_R(w)$$

$$H(w) = G_T(w)G_R(w) = G_T^2(w) = G_R^2(w)$$

若
则
所以

$$G_T(w) = G_R(w) = \sqrt{H(w)} = \sqrt{\frac{T_s}{2}} \text{sinc}\left(w \frac{T_s}{4}\right) e^{-jw \frac{T_s}{4}}$$

5-10 设某基带传输系统具有图 5-11 所示的三角形传输函数:

(1) 求该系统接受滤波器输出基本脉冲的时间表示式;

(2) 当数字基带信号的传码率 $R_B = w_0/2$ 时, 用奈奎斯特准则验证该系统能否实现无码间干扰传输?

解

(1) 由图 5-11 可得

$$H(w) = \begin{cases} \left(1 - \frac{|w|}{w_0}\right), & |w| \leq w_0 \\ 0, & \text{其它} \end{cases}$$

该系统输出基本脉冲的时间表示式为

$$h(t) = \frac{1}{2\pi} \int_{-\infty}^{+\infty} H(w) e^{jw t} dw = \frac{w_0}{2\pi} \text{sinc}\left(\frac{w_0 t}{2}\right)$$

(2) 根据奈奎斯特准则, 当系统能实现无码间干扰传输时,

$H(w)$ 应满足

$$H_{eq}(w) = \begin{cases} \sum_i H(w + \frac{2\pi}{T_s} i) = C, & |w| \leq \frac{\pi}{T_s} \\ 0, & |w| > \frac{\pi}{T_s} \end{cases}$$

容易验证, 当 $|w| \leq \frac{\pi}{T_s} = w_0$ 时 $\sum_i H(w + \frac{2\pi}{T_s} i) = \sum_i H(w + 2\pi R_B i) = \sum_i H(w + 2w_0 i) \neq C$,

所以当传码率 $R_B = \frac{w_0}{\pi}$ 时, 系统不能实现无码间干扰传输

5-11 设基带传输系统的发送滤波器, 信道及接受滤波器组成总特性为 $H(w)$, 若要求以 $2/T_s$ Baud 的速率进行数据传输, 试检验图 5-12 各种 $H(w)$ 满足消除抽样点上无码间干扰的条件否?

解 当 $R_B = 2/T_s$ 时, 若满足无码间干扰的条件, 根据奈奎斯特准则, 基带系统的总特性 $H(w)$ 应满足

$$H_{eq}(w) = \begin{cases} \sum_i H(w + 2\pi R_B i) = C, & |w| \leq \pi R_B \\ 0, & |w| > \pi R_B \end{cases}$$

或者

$$H_{eq}(w) = \begin{cases} \sum_i H(w + \frac{4\pi}{T_s} i) = C, & |w| \leq \frac{2\pi}{T_s} \\ 0, & |w| > \frac{2\pi}{T_s} \end{cases}$$

容易验证, 除(c)之外, (a) (b) (d) 均不满足无码间干扰传输的条件。

5-12 设某数字基带传输信号的传输特性 $H(w)$ 如图 5-13 所示。其中 a 为某个常数 ($0 < a < 1$)。

- (1) 试检验该系统能否实现无码间干扰传输?
- (2) 试求该系统的最大码元传输速率为多少? 这是的系统频带利用率为多大?

解

- (1) 根据奈奎斯特准则, 若系统满足无码间干扰传输的条件, 基带系统的总特性 $H(w)$ 应满足

$$H_{eq}(w) = \begin{cases} \sum_i H(w + 2\pi R_B i) = C, & |w| \leq \pi R_B \\ 0, & |w| > \pi R_B \end{cases}$$

可以验证, 当 $R_B = \omega_0/2$ 时, 上式成立。该系统可以实现无码间干扰传输。

- (2) 该系统的最大码元传输速率 R_{\max} , 既满足 $H_{eq}(\omega)$ 的最大码元传输速率 R_B , 容易得到

$$R_{\max} = \omega_0/2$$

系统带宽 $B = (1 + \alpha)\omega_0/2 \text{ rad} = (1 + \alpha)\omega_0/2 \text{ Hz}$, 所以系统的最大频带利用率为

$$\eta = \frac{R_{\max}}{B} = \frac{\frac{\omega_0}{2}}{(1 + \alpha)\omega_0/2} = \frac{1}{1 + \alpha}$$

5-13 为了传送码元速率 $R_B = 10^3 \text{ Baud}$ 的数字基带信号, 试问系统采用图 5-14 中所画的哪一种传输特性较好? 并简要说明其理由。

解 根据奈奎斯特准则可以证明(a), (b)和(c)三种传输函数均能满足无码间干扰的要求。下面我们从频带利用率, 冲击响应“尾巴”衰减快慢, 实现难易程度等三个方面分析对比三种传输函数的好坏。

- (1) 频带利用率

三种波形的传输速率均为 $R_B = 1000 \text{ Baud}$, 传输函数(a)的带宽为

$$B_a = 2 \times 10^3 \text{ Hz}$$

其频带利用率

$$\eta_a = R_B / B_a = 1000 / (2 \times 10^3) = 0.5 \text{ Baud/Hz}$$

传输函数(b)的带宽为

$$B_b = 10^3 \text{ Hz}$$

其频带利用率

$$\eta_b = R_B / B_b = 1000 / 1000 = 1 \text{ Baud/Hz}$$

传输函数(c)的带宽为

$$B_c = 10^3 \text{ Hz}$$

其频带利用率

$$\eta_c = R_B / B_c = 1000 / 1000 = 1 \text{ Baud/Hz}$$

显然

$$\eta_a < \eta_b = \eta_c$$

所以从频带利用率角度来看, (b)和(c)较好。

- (2) 冲击响应“尾巴”衰减快慢程度

(a), (b)和(c)三种传输函数的时域波形分别为

$$h_a(t) = 2 \times 10^3 \sin^2(2 \times 10^3 \pi t)$$

$$h_b(t) = 2 \times 10^3 \sin(2 \times 10^3 \pi t)$$

$$h_c(t) = 10^3 \sin^2(10^3 \pi t)$$

其中(a)和(c)的尾巴以 $1/t^2$ 的速度衰减, 而(b)尾巴以 $1/t$ 的速度衰减, 故从时域波形的尾巴衰减速度来看, 传输特性(a)和(c)较好。

- (3) 从实现难易程度来看, 因为(b)为理想低通特性, 物理上不易实现, 而(a)和(c)相对较易实现。

综上所述, 传输特性(c)较好。

5-14 设二进制基带系统地分析模型如图 5-2 所示，现已知

$$H(\omega) = \begin{cases} \tau_0 (1 + \cos \omega \tau_0), & |\omega| \leq \frac{\pi}{\tau_0} \\ 0, & \text{其它 } \omega \end{cases}$$

试确定该系统最高的码元传输速率 R_B 及相应码元间隔 T_s 。

解 传输特性 $H(\omega)$ 的波形如图 5-15 所示。

由上图易知， $H(\omega)$ 为升余弦传输特性。有奈奎斯特准则，可求出系统最高的码元速率 $R_B = 1/2 \tau_0$ Baud，而 $T_s = 2 \tau_0$ 。

5-15 若上题中

$$H(\omega) = \begin{cases} \frac{T_s}{2} (1 + \cos \omega \frac{T_s}{2}), & |\omega| \leq \frac{2\pi}{T_s} \\ 0, & \text{其它 } \omega \end{cases}$$

试证其单位冲击响应为

$$h(t) = \frac{\sin \pi t / T_s}{\pi t / T_s} \bullet \frac{\cos \pi t / T_s}{1 - 4t^2 / T_s^2}$$

并画出 $h(t)$ 的示意波形和说明用 $1/T_s$ Baud 速率传送数据时，存在(抽样时刻上)码间干扰否？

解 $H(\omega)$ 可以表示为

$$H(\omega) = \frac{T_s}{2} G_{\frac{4\pi}{T_s}}(\omega) (1 + \cos \frac{\omega T_s}{2})$$

其中 $G_{\frac{4\pi}{T_s}}(\omega)$ 波形如图 5-16 (a) 所示。而 $G_{\frac{4\pi}{T_s}}(\omega)$ 得傅氏变换为

$$F^{-1} [G_{\frac{4\pi}{T_s}}(\omega)] = \frac{2}{T_s} \text{sa}(\frac{2\pi t}{T_s})$$

而

$$\begin{aligned} H(\omega) &= \frac{T_s}{2} G_{\frac{4\pi}{T_s}}(\omega) [1 + \frac{e^{j\frac{\omega T_s}{2}} + e^{-j\frac{\omega T_s}{2}}}{2}] \\ &= \frac{T_s}{2} G_{\frac{4\pi}{T_s}}(\omega) + \frac{T_s}{4} G_{\frac{4\pi}{T_s}}(\omega) e^{j\frac{\omega T_s}{2}} + \frac{T_s}{4} G_{\frac{4\pi}{T_s}}(\omega) e^{-j\frac{\omega T_s}{2}} \end{aligned}$$

所

以

$h(t) =$

$$\begin{aligned}
 & \frac{T_s}{2} \times \frac{2}{T_s} \text{sa}\left(\frac{2\pi t}{T_s}\right) + \frac{T_s}{4} \times \frac{2}{T_s} \text{sa}\left[\frac{2\pi(t + \frac{T_s}{2})}{T_s}\right] + \frac{T_s}{4} \times \frac{2}{T_s} \text{sa}\left[\frac{2\pi(t - \frac{T_s}{2})}{T_s}\right] \\
 &= \\
 & \text{sa}\left(\frac{2\pi t}{T_s}\right) + \frac{1}{2} \text{sa}\left[\frac{2\pi(t + \frac{T_s}{2})}{T_s}\right] + \frac{1}{2} \text{sa}\left[\frac{2\pi(t - \frac{T_s}{2})}{T_s}\right] = \text{sa}\left(\frac{2\pi t}{T_s}\right) - \text{sa}\left(\frac{2\pi t}{T_s}\right) \cdot \frac{1}{1 - T_s^2 / 4t^2} \\
 &= \text{sa}\left(\frac{2\pi t}{T_s}\right) \left[1 - \frac{1}{1 - T_s^2 / 4t^2}\right] \\
 &= \text{sa}\left(\frac{2\pi t}{T_s}\right) \left[\frac{1}{1 - 4t^2 / T_s^2}\right] \\
 &= \frac{\sin \pi t / T_s}{\pi t / T_s} \cdot \frac{\cos \pi t / T_s}{1 - 4t^2 / T_s^2}
 \end{aligned}$$

$h(t)$ 的波形如图5-16(b)所示。

由图 5-16 (b) 可以看出, 当传输速率

$R_B = \frac{1}{T_s} \text{Baud}$ 时, 将不存在(抽样时刻上的)码间干扰, 因为 $h(t)$ 满足

$$h(KT_s) = \begin{cases} 1, k=0 \\ 0, k \text{ 为其它整数} \end{cases}$$

5-16 设一相关编码系统如图 5-17 所示。图中, 理想低通滤波器的截止频率为 $1/(2T_s)$, 通带增益为 T_s 。试求该系统的单位冲击响应和频率特性。

解 理想低通滤波器的传递函数为

$$H(\omega) = \begin{cases} T_s, |\omega| \leq \frac{\pi}{T_s} \\ 0, \text{其他} \omega \end{cases}$$

其对应的单位冲击响应

$$h'(t) = \text{sa}\left(\frac{\pi}{T_s} t\right)$$

所以系统单位冲击响应

$$\begin{aligned}
 h(t) &= [\delta(t) - \delta(t - 2T_s)] * h'(t) = h'(t) - h'(t - 2T_s) \\
 &= \text{sa}\left(\frac{\pi}{T_s} t\right) - \text{sa}\left[\left(\frac{\pi}{T_s} t - 2T_s\right)\right]
 \end{aligned}$$

系统的频率特性

$$H(w)=[1-e^{-jwT_s}]H'(w)$$

$$= \begin{cases} T_s(1-e^{-j2wT_s})|w| \leq \frac{\pi}{T_s} \\ 0, \text{其它} w \end{cases}$$

$$|H(w)| = \begin{cases} 2T_s \sin wT_s, |w| \leq \frac{\pi}{T_s} \\ 0, \text{其它} w \end{cases}$$

5-17 若上题中输入数据为二进制的，则相关编码电平数为何值？若数据为四进制的，则相关编码电平数为何值？

解 相关编码表示式为 $C_k=b_k+b_{k-2}$

若输入数据为二进制(+1,-1)，则相关编码电平数为 3；若输入数据为四进制(+3,+1,-1,-3)，则相关编码电平数为 7。

一般地，若部分相应波形为

$$g(t) = R_1 \frac{\sin \frac{\pi}{T_s} t}{\frac{\pi}{T_s} t} + R_2 \frac{\sin \frac{\pi}{T_s} (t-T_s)}{\frac{\pi}{T_s} (t-T_s)} + \dots$$

$$+ RN \frac{\sin \frac{\pi}{T_s} (t-(N-1)T_s)}{\frac{\pi}{T_s} (t-(N-1)T_s)}$$

输入数据为 L 进制，则相关电平数

$$Q = (L-1) \sum_{i=1}^N |R_i| + 1$$

5-18 以参考文献 [1]中第 类部分响应系统为例，试画出包括预编码在内的系统组成方框图。

解 第 类部分响应系统的系统组成方框图如图 5-18 所示。

5-19 对于双极性基带信号，在一个码元持续时间内，抽样判决器输入端得到的波形可表示为

$$x(t) = \begin{cases} A + n_R(t), \text{发送 "1" 时} \\ -A + n_R(t), \text{发送 "0" 时} \end{cases}$$

假定 $n_R(t)$ 是均值为 0，方差为 σ_n^2 的高斯噪声，当发送“1”时， $x(t)$ 的一维概率密度为

$$f_1(x) = \frac{1}{\sqrt{2\pi}\sigma_n} \exp\left[-\frac{(x-A)^2}{2\sigma_n^2}\right]$$

而发送“0”时, $x(t)$ 的一维概率密度为

$$f_0(x) = \frac{1}{\sqrt{2\pi}\sigma_n} \exp\left[-\frac{(x+A)^2}{2\sigma_n^2}\right]$$

若令判决门限为 V_d , 则将“1”错判为“0”的概率为

$$P_{e1} = p(x < V_d) = \int_{-\infty}^{V_d} f_1(x) dx = \frac{1}{2} + \frac{1}{2} \operatorname{erf}\left(\frac{V_d - A}{\sqrt{2}\sigma_n}\right)$$

将“0”错判为“1”的概率为

$$P_{e0} = p(x > V_d) = \int_{V_d}^{\infty} f_0(x) dx = \frac{1}{2} - \frac{1}{2} \operatorname{erf}\left(\frac{V_d + A}{\sqrt{2}\sigma_n}\right)$$

若设发送“1”和“0”的概率分别为 $p(1)$ 和 $p(0)$, 则系统总的误码率为

$$\begin{aligned} p_e &= p(1)p_{e1} + p(0)p_{e2} \\ &= p(1) \int_{-\infty}^{V_d} f_1(x) dx + p(0) \int_{V_d}^{\infty} f_0(x) dx \end{aligned}$$

令 $\frac{dp_e}{dV_d} = 0$, 得到

$$p(1)f_1(V_d) - p(0)f_0(V_d) = 0$$

解的最佳门限电平为

$$V_d^* = \frac{\sigma_n^2}{2A} \ln \frac{p(0)}{p(1)}$$

5-20 试证明对于单极性基带波形, 其最佳门限电平为

$$V_d^* = \frac{A}{2} \frac{\sigma_n^2}{2A} \ln \frac{p(0)}{p(1)}$$

最小误码率 $p_e = \frac{1}{2} \operatorname{erfc}\left(\frac{A}{\sqrt{2}\sigma_n}\right)$ (“1”和“0”等概出现时)

证明 对于单极性基带信号, 在一个码元持续时间内, 抽样判决其输入端得到的波形可表示为

$$x(t) = \begin{cases} A + n_R(t), & \text{发送“1”时} \\ n_R(t), & \text{发送“0”时} \end{cases}$$

其中 $n_R(t)$ 为均值为 0, 方差为 σ_n^2 的高斯噪声, 当发送“1”时, $x(t)$ 的一维概率密度为

$$f_1(x) = \frac{1}{\sqrt{2\pi}\sigma_n} \exp\left[-\frac{(x-A)^2}{2\sigma_n^2}\right]$$

而发送“0”时, $x(t)$ 的一维概率密度为

$$f_0(x) = \frac{1}{\sqrt{2\pi}\sigma_n} \exp\left[-\frac{x^2}{2\sigma_n^2}\right]$$

若令判决门限为 V_d , 则将“1”错判为“0”的概率为

$$P_{e1} = p(x < V_d) = \int_{-\infty}^{V_d} \frac{1}{\sqrt{2\pi}\sigma_n} \exp\left[-\frac{(x-A)^2}{2\sigma_n^2}\right] dx$$

将“0”错判为“1”的概率为

$$P_{e0} = p(x > V_d) = \int_{V_d}^{\infty} \frac{1}{\sqrt{2\pi}\sigma_n} \exp\left[-\frac{x^2}{2\sigma_n^2}\right] dx$$

若设发送“1”和“0”的概率分别为 $p(1)$ 和 $p(0)$, 则系统总的误码率为

$$p_e = p(1)p_{e1} + p(0)p_{e2}$$

$$\text{令 } \frac{dp_e}{dV_d} = 0, \text{ 得到}$$

最佳门限电平 V_d^* 即

解的最佳门限电平为

$$V_d^* = \frac{\sigma_n^2}{2A} \ln \frac{p(0)}{p(1)}$$

而发送“0”时, $x(t)$ 的一维概率密度为

$$f_1(x) = \frac{1}{\sqrt{2\pi}\sigma_n} \exp\left[-\frac{(x-A)^2}{2\sigma_n^2}\right]$$

而发送“0”时, $x(t)$ 的一维概率密度为

$$f_0(x) = \frac{1}{\sqrt{2\pi}\sigma_n} \exp\left[-\frac{(x+A)^2}{2\sigma_n^2}\right]$$

若令判决门限为 V_d , 则将“1”错判为“0”的概率为

$$P_{e1} = p(x < V_d) = \int_{-\infty}^{V_d} f_1(x) dx = \frac{1}{2} + \frac{1}{2} \operatorname{erf}\left(\frac{V_d - A}{\sqrt{2}\sigma_n}\right)$$

将“0”错判为“1”的概率为

$$P_{e0} = p(x > V_d) = \int_{V_d}^{\infty} f_0(x) dx = \frac{1}{2} - \frac{1}{2} \operatorname{erf}\left(\frac{V_d + A}{\sqrt{2}\sigma_n}\right)$$

若设发送“1”和“0”的概率分别为 $p(1)$ 和 $p(0)$ ，则系统总的误码率为

$$\begin{aligned} p_e &= p(1)p_{e1} + p(0)p_{e2} \\ &= p(1)\int_{-\infty}^{V_d} f_1(x) dx + p(0)\int_{V_d}^{\infty} f_0(x) dx \end{aligned}$$

$$\frac{dp_e}{dV_d} = 0, \text{ 得到}$$

$$p(1)f_1(V_d) - p(0)f_0(V_d) = 0$$

解的最佳门限电平为

$$V_d^* = \frac{\sigma_n^2}{2A} \ln \frac{p(0)}{p(1)}$$

若令判决门限为 V_d ，则将“1”错判为“0”的概率为

将“0”错判为“1”的概率为

设发送“1”和“0”的概率分别为 $p(1)$ 和 $p(0)$ ，则系统总的误码率为

5-21 若二进制基带系统如图 5-2 所示，并设 。现已知

- (1) 若 $n(t)$ 的双边功率谱密度为 $n_0/2$ (W/Hz)，试确定 $G_R(w)$ 得输出噪声功率；
- (2) 若在抽样时刻 KT (K 为任意正整数) 上，接受滤波器的输出信号以相同概率取 0, A 电平，而输出噪声取值 V 服从下述概率密度分布的随机变量

试求 系统最小误码率 p_e 。

解

- (1) $G_R(w)$ 的输出噪声功率谱密度为

接受滤波器 $G_R(w)$ 输出噪声功率为

- (2) 设系统发送“1”时，接受滤波器的输出信号为 A 电平，而发送“0”时，接受滤波器的输出信号为 0 电平。若令判决门限为 V_d ，则发送“1”错判为“0”的概率为

发送“0”错判为“1”的概率为

设发送“1”和“0”的概率分别为 $p(1)$ 和 $p(0)$ ，则总的错误概率为

5-22 某二进制数字基带系统所传送的是单极性基带信号，且数字信息“1”和“0”的出现概率相等。

(1) 若数字信息为“1”时，接受滤波器输出信号在抽样判决时刻的值 $A=1V$ ，且接受滤波器输出噪声是均值为0，均方根值为 $0.2V$ 的高斯噪声，试求这时的误码率 p_e ；

(2) 若要求误码率 p_e 不大于 10^{-5} 试确定 A 至少是多少？

解

(1) 用 $p(1)$ 和 $p(0)$ 分别表示数字信息“1”和“0”出现的概率，则 $p(1)=p(0)=1/2$ ，等概时，最佳判决门限为 $V_d^*=A/2=0.5V$ 。

已知接受滤波器输出噪声是均值为0，均方根值为 $0.2V$ 误码率 $p_e=$

(2)

5-23 若将上题中的单极性基带信号改为双极性基带信号，其他条件不变，重做上题中的各问。

解 等概时采用双极性基带信号的几代传输系统的最小误码率

5-24 一随机二进制序列为 10110001...，符号“1”对应的基带波形为升余弦波形，持续时间为 T_s ；符号“0”对应的基带波形恰好与“1”的相反。

(1) 当示波器扫描周期 $T_0=T_s$ 时，试画出眼图；

(2) 当 $T_0=2T_s$ 时，试重画眼图；

(3) 比较两种眼图的下述指标：最佳抽样判决时刻，判决门限电平及噪声容限值。

解

(1) 若不考虑信道噪声和码间干扰，当示波器扫描周期 $T_0=T_s$ 时，眼图如图 5-19(a) 所示。

(2) 当 $T_0=2T_s$ 时，眼图如图 5-19(b) 所示。

(4) 在 $T_0=T_s$ 和 $T_0=2T_s$ 时，最佳抽样判决时刻，噪声容限及判决门限电平分别如图 5-19(a) (b) 中的标注所示。

5-25 设有一个三抽头的是与均衡器，如图 5-20 所示， $x(t)$ 在各抽样点的值依次为 $x_{-2}=1/8$ $x_{-1}=1/8$, $x_0=1$, $x_{+1}=1/4$,

$x_{+2}=1/16$ (在其他抽样点均为零)，试求输入波形 $x(t)$ 峰值的畸变值及时雨均衡其输出波形 $y(t)$ 峰值的畸变值。

解 x_k 的峰值的畸变值为

$$D_x = \frac{1}{x_0} \sum_{i=-2}^2 |x_i| = \frac{1}{8} + \frac{1}{3} + \frac{1}{4} + \frac{1}{16} = \frac{37}{48}$$

有公式

$$y_k = \sum_{i=-N}^N C_i x_{k-i} \text{ 得到}$$

$$y_{-3} = C_{-1}x_{-2} = -\frac{1}{3} \times \frac{1}{8} = -\frac{1}{24}$$

$$y_{-2} = C_{-1}x_{-1} + C_0x_{-2} = -\frac{1}{3} \times \frac{1}{3} + 1 \times \frac{1}{8} = \frac{1}{72}$$

$$y_{-1} = C_{-1}x_0 + C_0x_{-1} + C_1x_{-2} = -\frac{1}{3} \times 1 + 1 \times \frac{1}{3} + (-\frac{1}{4}) \times \frac{1}{8} = -\frac{1}{32}$$

$$y_0 = C_{-1}x_1 + C_0x_0 + C_1x_{-1} = -\frac{1}{3} \times \frac{1}{4} + 1 \times 1 + (-\frac{1}{4}) \times \frac{1}{3} = \frac{5}{6}$$

$$y_1 = C_{-1}x_2 + C_0x_1 + C_1x_0 = -\frac{1}{3} \times \frac{1}{16} + 1 \times \frac{1}{4} + (-\frac{1}{4}) \times 1 = -\frac{1}{48}$$

$$y_2 = C_0x_2 + C_1x_1 = 1 \times \frac{1}{16} + (-\frac{1}{4}) \times \frac{1}{4} = 0$$

$$y_2 = C_1x_2 = -\frac{1}{4} \times \frac{1}{16} = -\frac{1}{64}$$

其余 y_k 值为 0。

输出波形 y_k 峰值的畸变值为

$$D_y = \frac{1}{y_0} \sum_{\substack{i=-3 \\ i \neq 0}}^3 |y_i| = \frac{6}{5} \times (\frac{1}{24} + \frac{1}{72} + \frac{1}{32} + \frac{1}{48} + 0 + \frac{1}{64}) = \frac{71}{480}$$